

Fizyka Procesów Klimatycznych Projekcje. Punkty krytyczne

prof. dr hab. Szymon Malinowski
Instytut Geofizyki, Wydział Fizyki
Uniwersytet Warszawski
malina@igf.fuw.edu.pl

dr hab. Krzysztof Markowicz
Instytut Geofizyki, Wydział Fizyki
Uniwersytet Warszawski
kmark@igf.fuw.edu.pl

Wykorzystano slajdy dr Aleksandry Kardaś

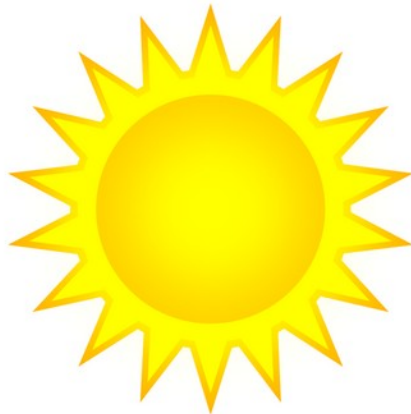
James Ephraim Lovelock

born Jul. 26, 1919, deceased Jul. 26, 2022



“The planet we live on has merely to shrug to take some fraction of a million people to their deaths,” Lovelock wrote in 2006.

“But this is nothing compared with what may soon happen; we are now so abusing the Earth that it may rise and move back into the hot state it was in 55m years ago, and if it does, most of us, and our descendants, will die.”



$$\Delta Q_s$$



T1

>



T2

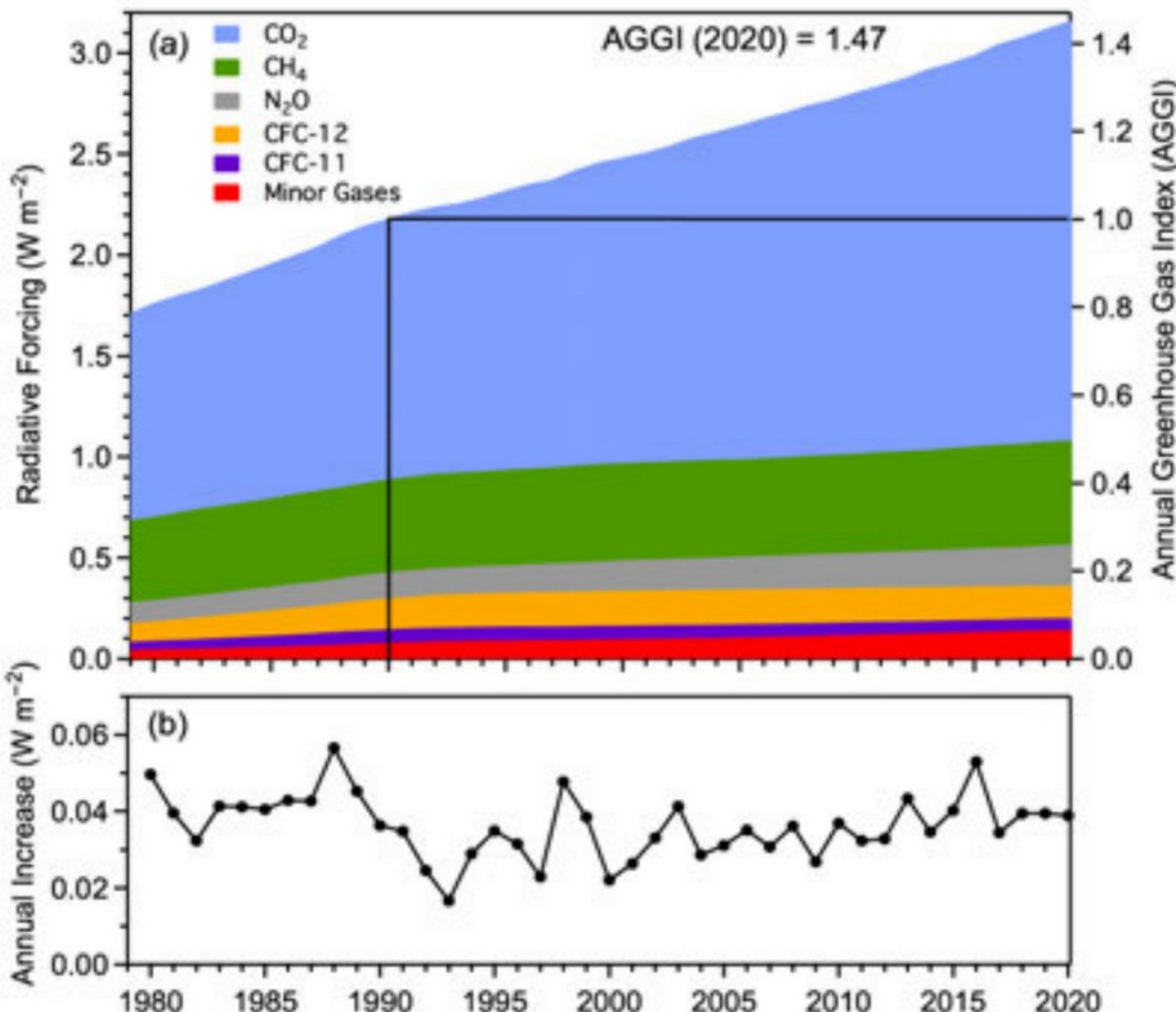
$$\Delta Q_c$$



T3

Temperatura planety rośnie, gdy $\Delta Q_s > \Delta Q_c$

Temperatura planety spada, gdy $\Delta Q_s < \Delta Q_c$

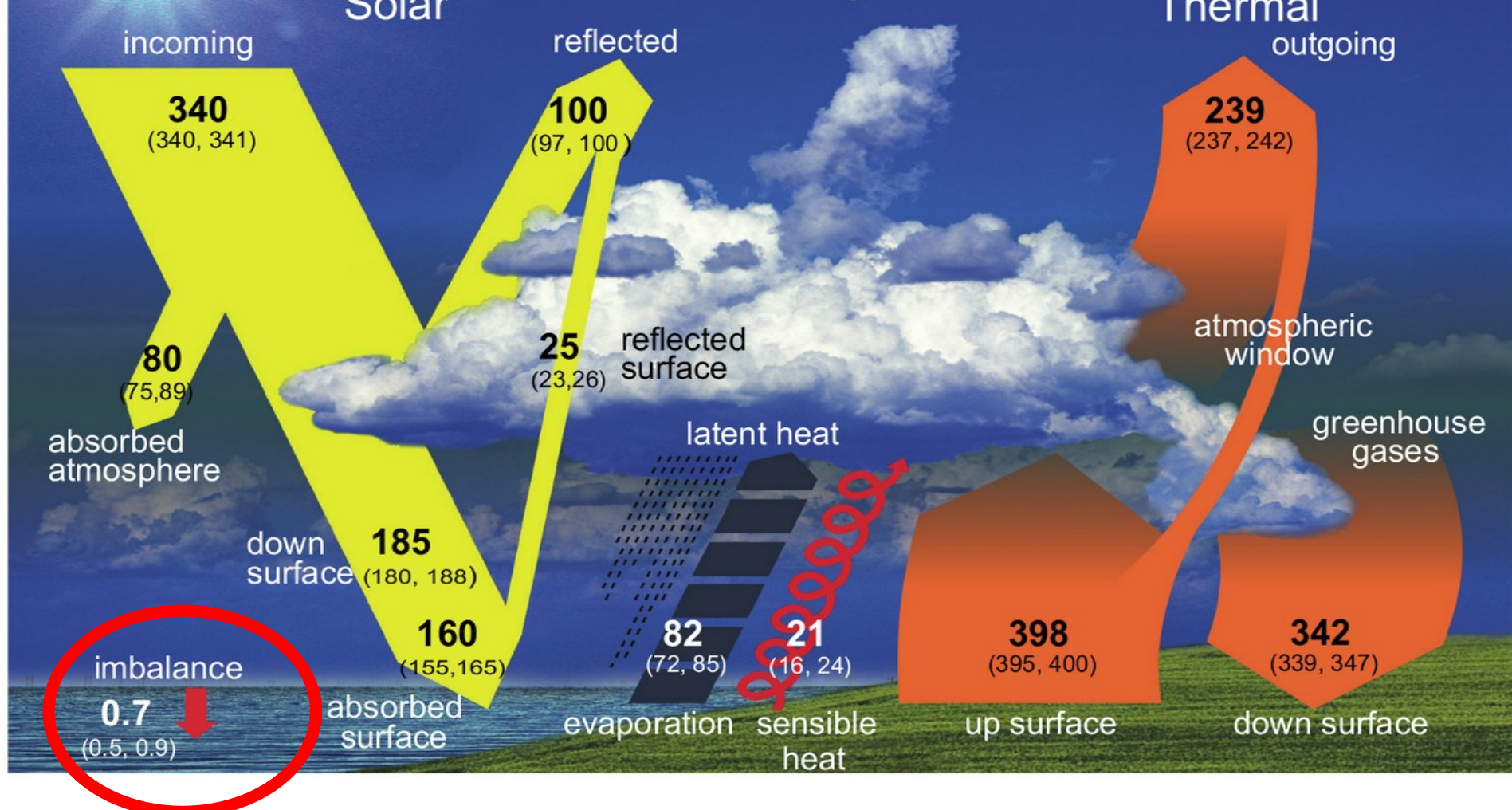


Rośnie
wymuszanie
radiacyjne przez
gazy cieplarniane.

BAMS, State of
Climate 2021

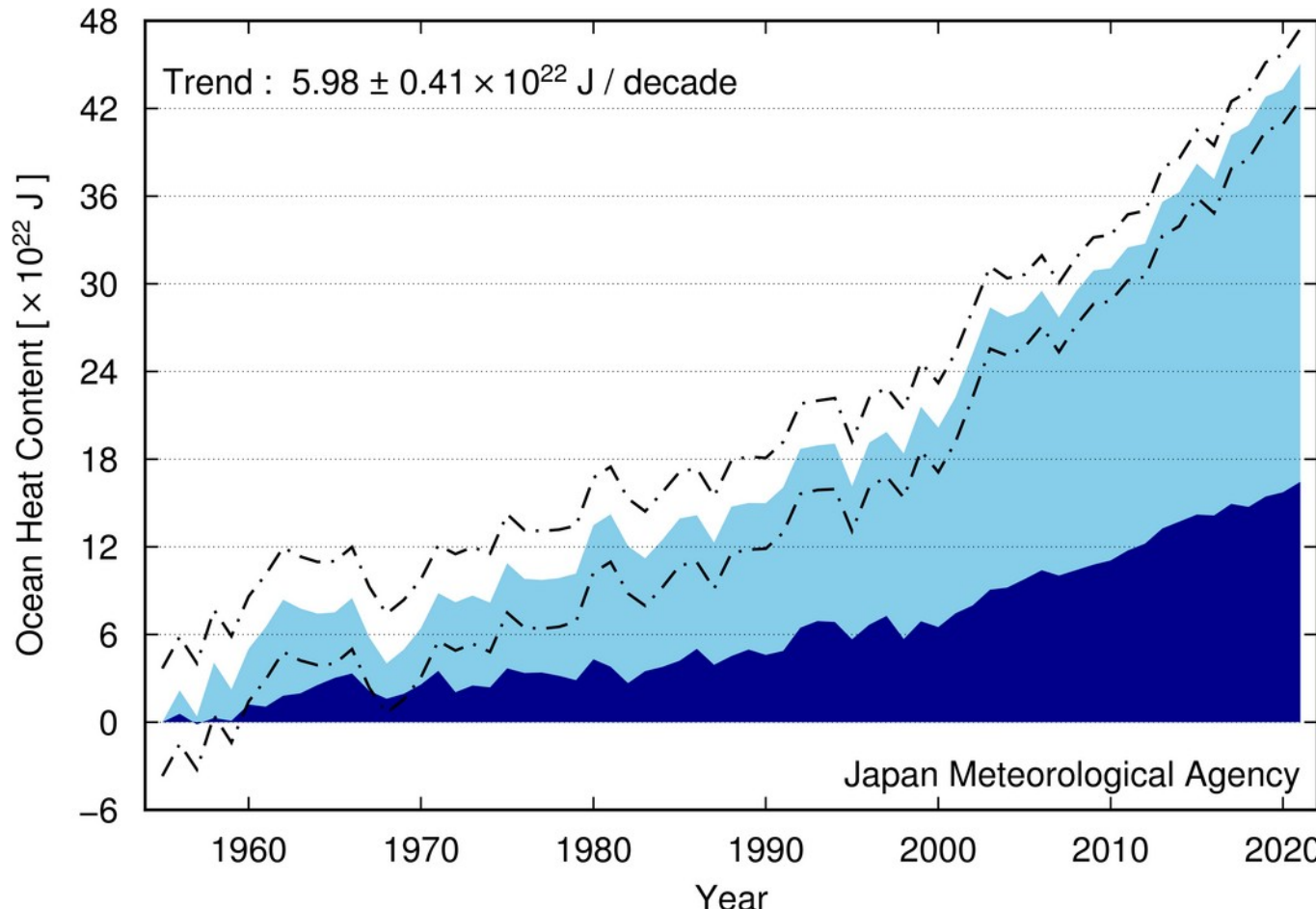
Units Wm⁻²

All sky

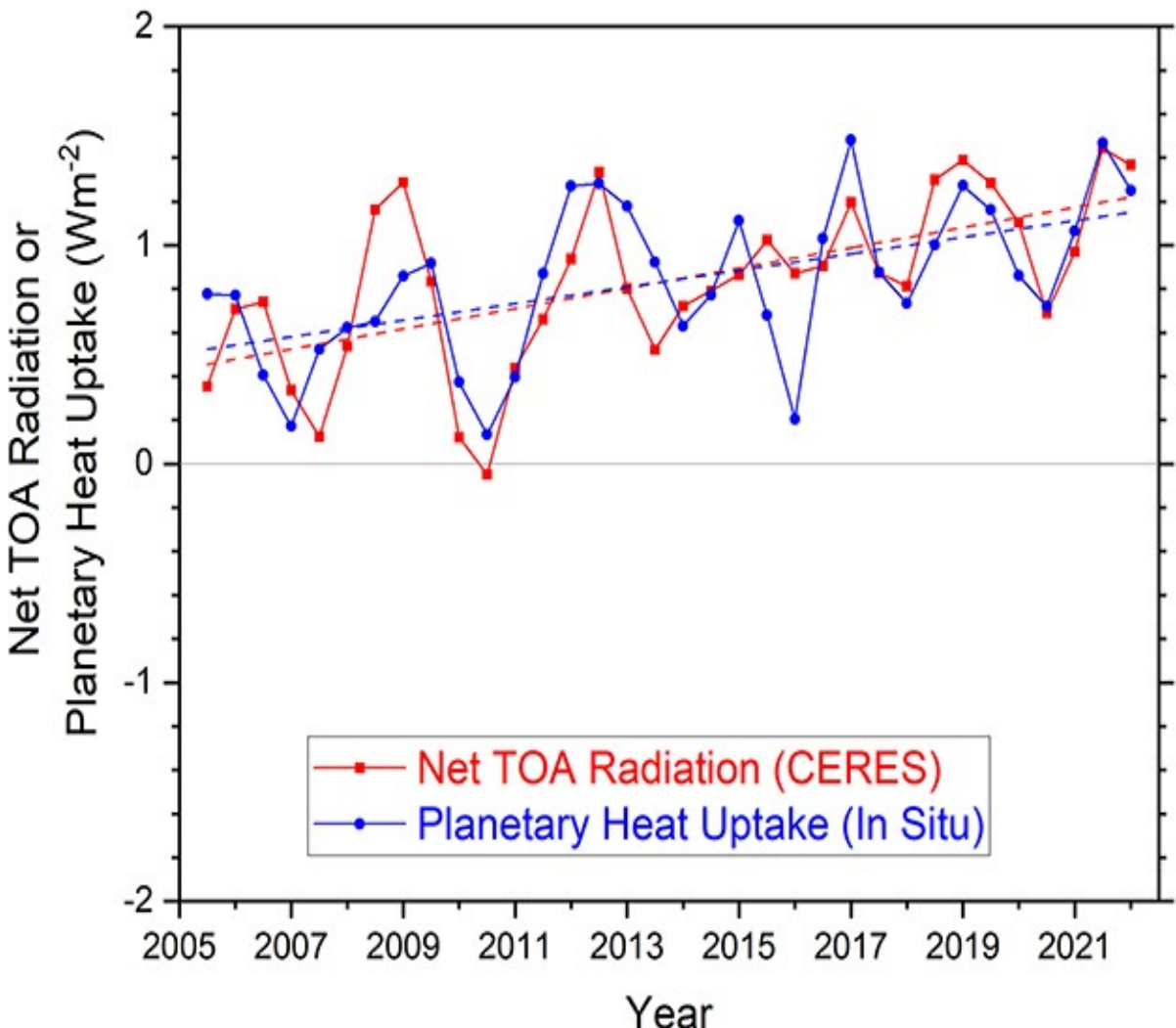


Uśredniony bilans energii systemu klimatycznego. Wartości w W/m².
W nawiasach zakres niepewności.

Dodatni bilans energii – prawie cała nadwyżka energii (96%) gromadzi się w oceanie.



Nierównowaga energetyczna narasta ...

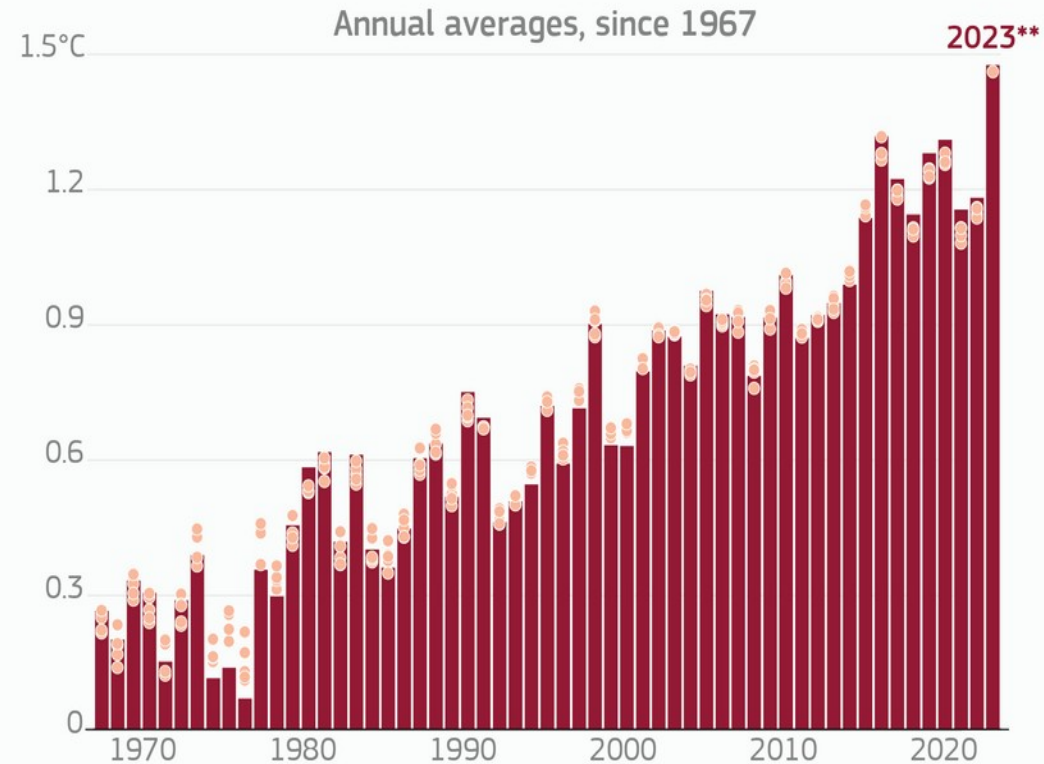
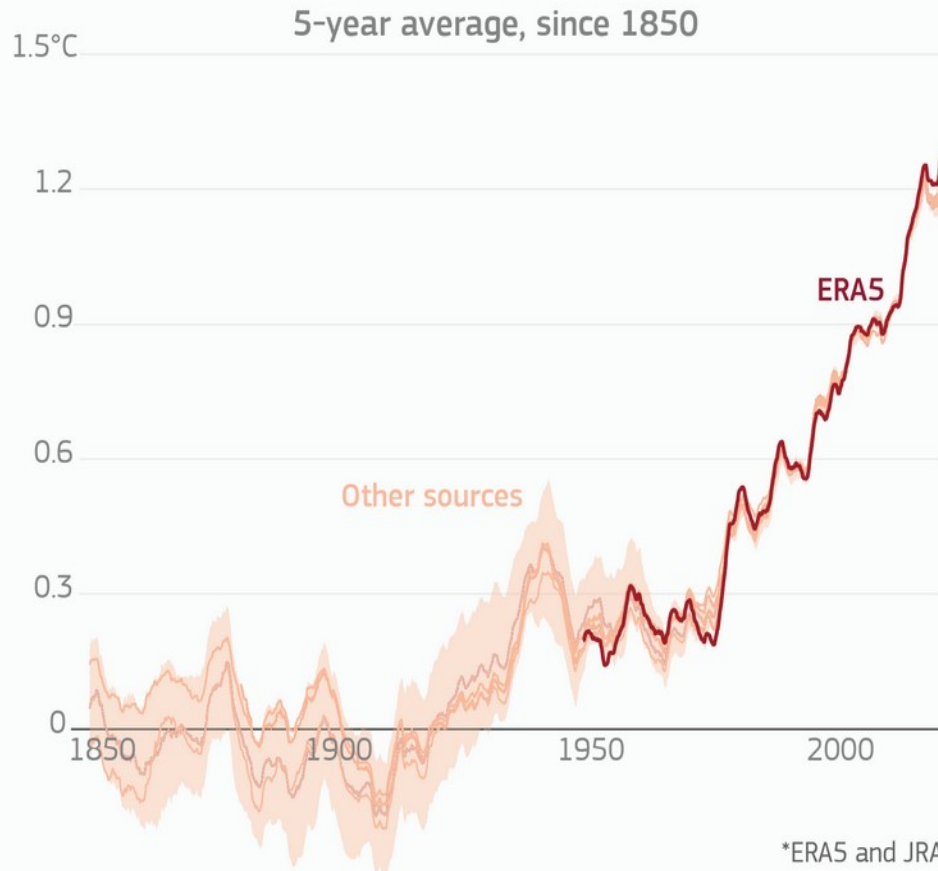


Schmidt GA, et al., 2023,
CERESMIP: a climate modeling
protocol to investigate recent
trends in the Earth's Energy
Imbalance. *Front. Clim.*
5:1202161.
<https://doi.org/10.3389/fclim.2023.1202161>

GLOBAL SURFACE TEMPERATURE: INCREASE ABOVE PRE-INDUSTRIAL LEVEL (1850-1900)



■ ERA5 data ● Other sources* (including JRA-3Q, GISTEMPv4, NOAGlobalTempv5, Berkeley Earth, HadCRUT5)



*ERA5 and JRA-3Q data are only shown from 1948. Shaded area represents the uncertainty for HadCRUT5 data

**Estimate for 2023 based on ERA5 and JRA-3Q data only

Credit: C3S/ECMWF



PROGRAMME
OF
THE EUROPEAN UNION



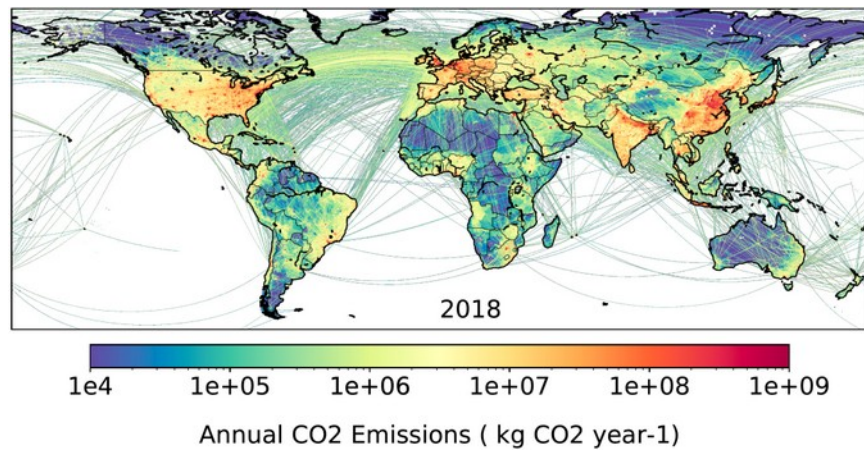
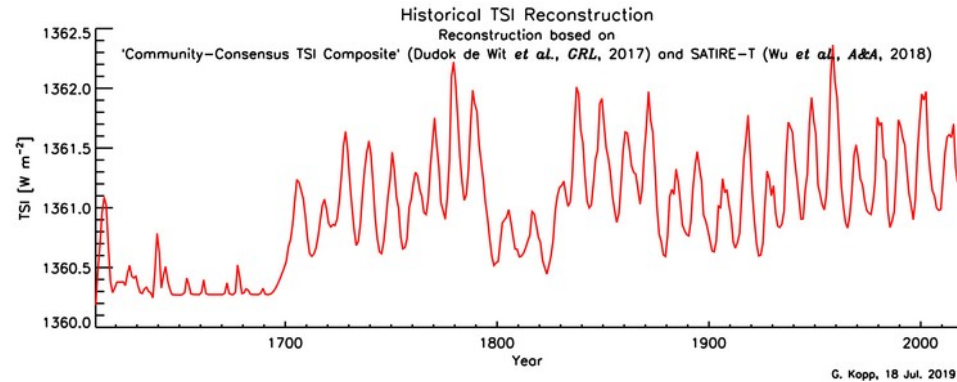
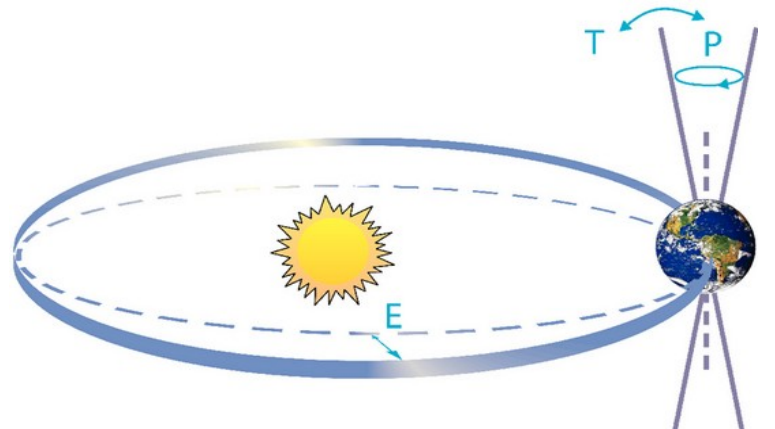
IMPLEMENTED BY



Climate
Change Service
climate.copernicus.eu

Wymuszenia i sprzężenia w systemie klimatycznym

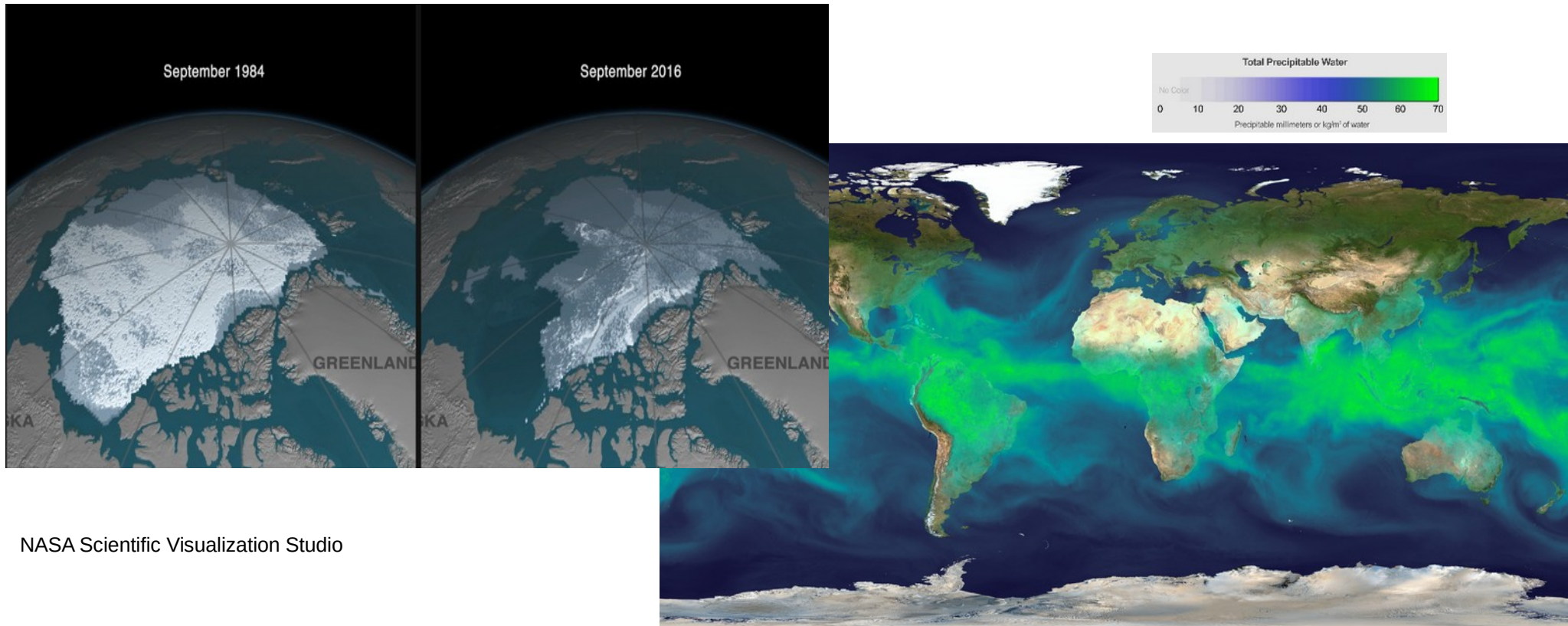
Wymuszenia inicują zmiany klimatu.



Przykłady: aktywność słoneczna, zmiany orbitalne, antropogeniczne i wulkaniczne emisje gazów czy aerosoli.

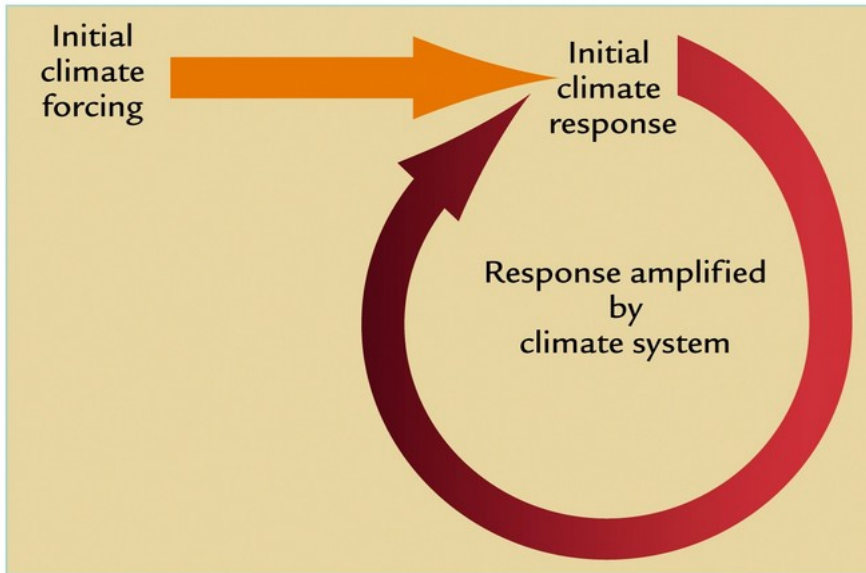
Wymuszenia i sprzężenia w systemie klimatycznym

Sprzężenia to procesy zachodzące wewnątrz systemu klimatycznego, które **skutkują dalszymi zmianami klimatu.**

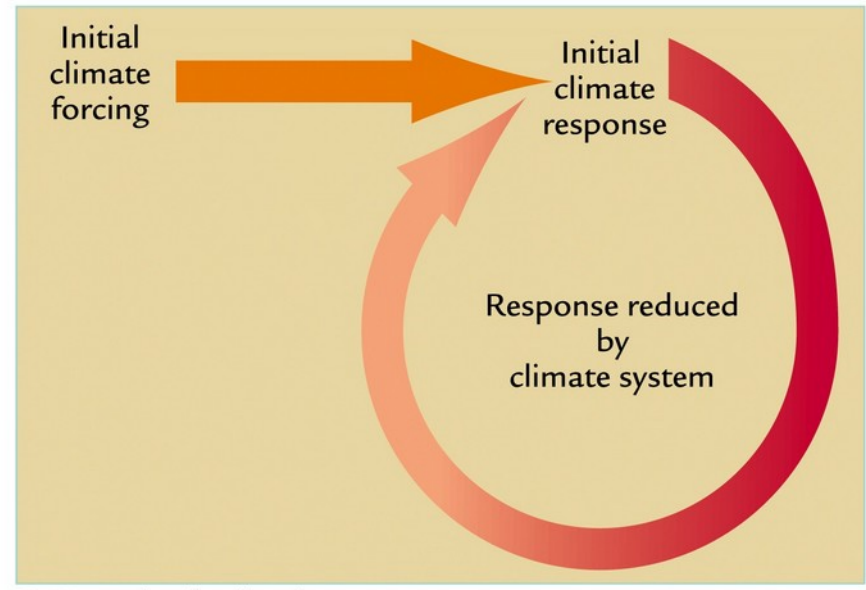


Przykłady: zmiany albedo wskutek zmian zlodzenia czy zmiany zawartości pary wodnej w powietrzu wskutek zmian temperatury.

Sprzężenia mogą być dodatnie lub ujemne.



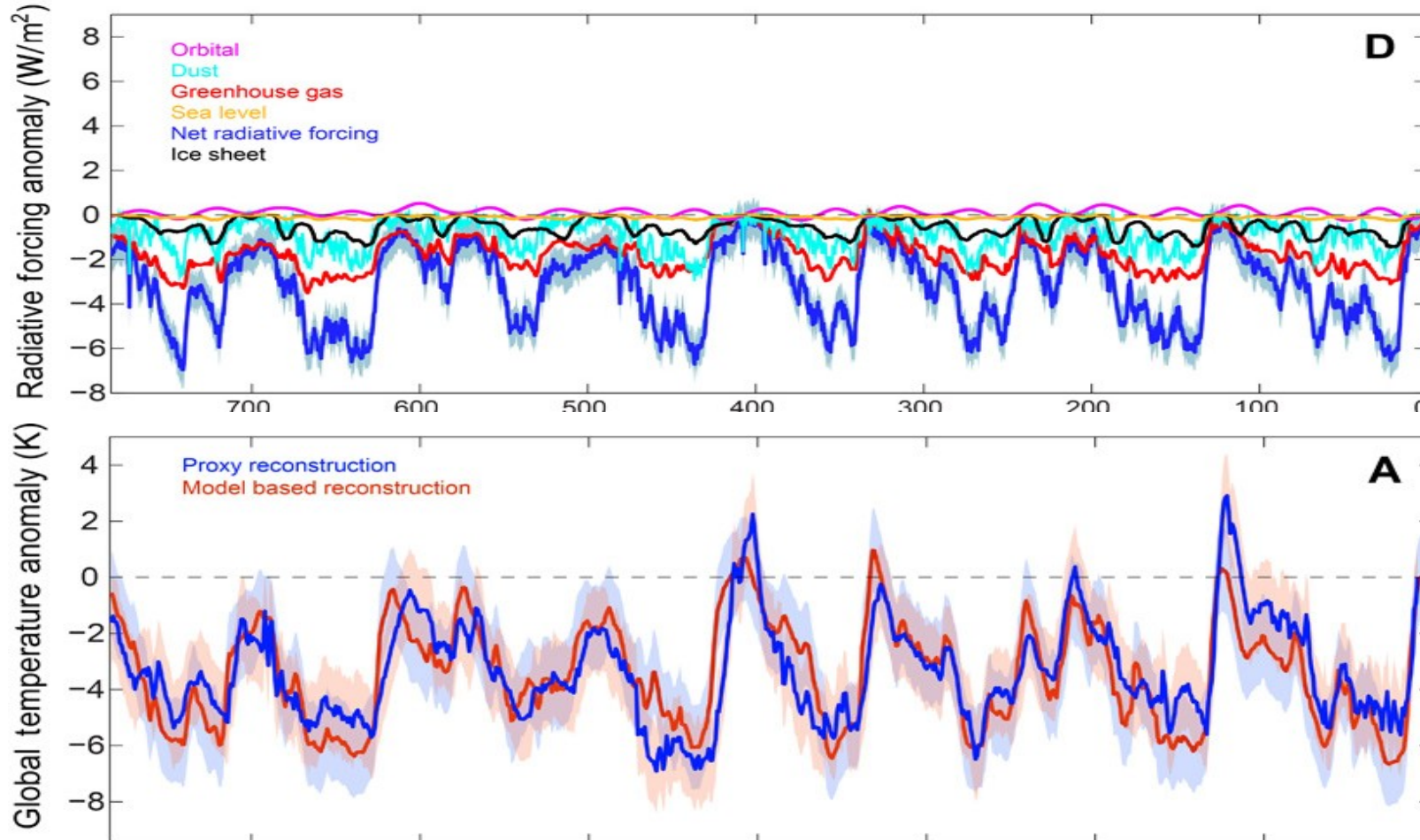
A Positive feedback



B Negative feedback

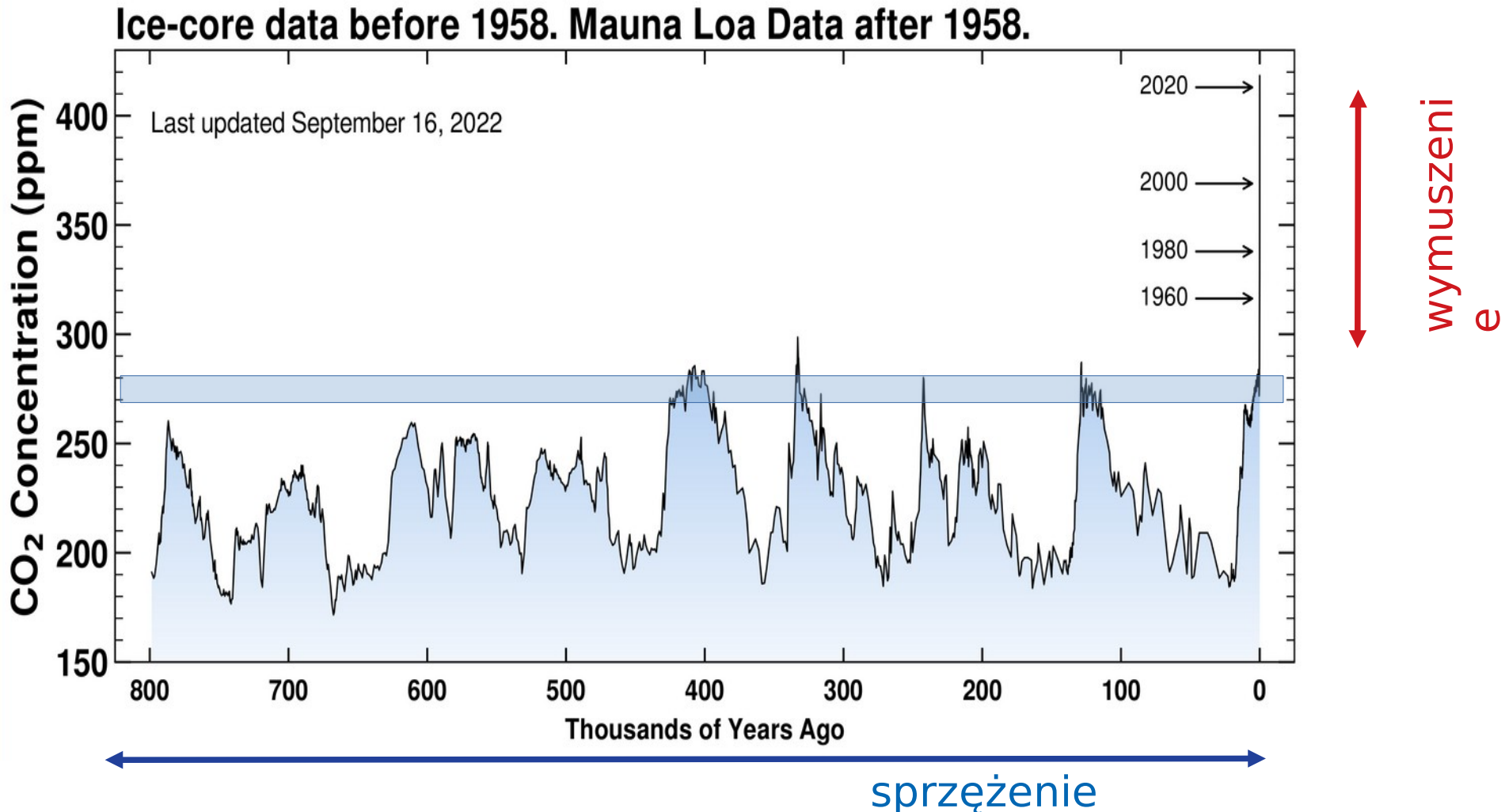
Mechanizm epok lodowych:

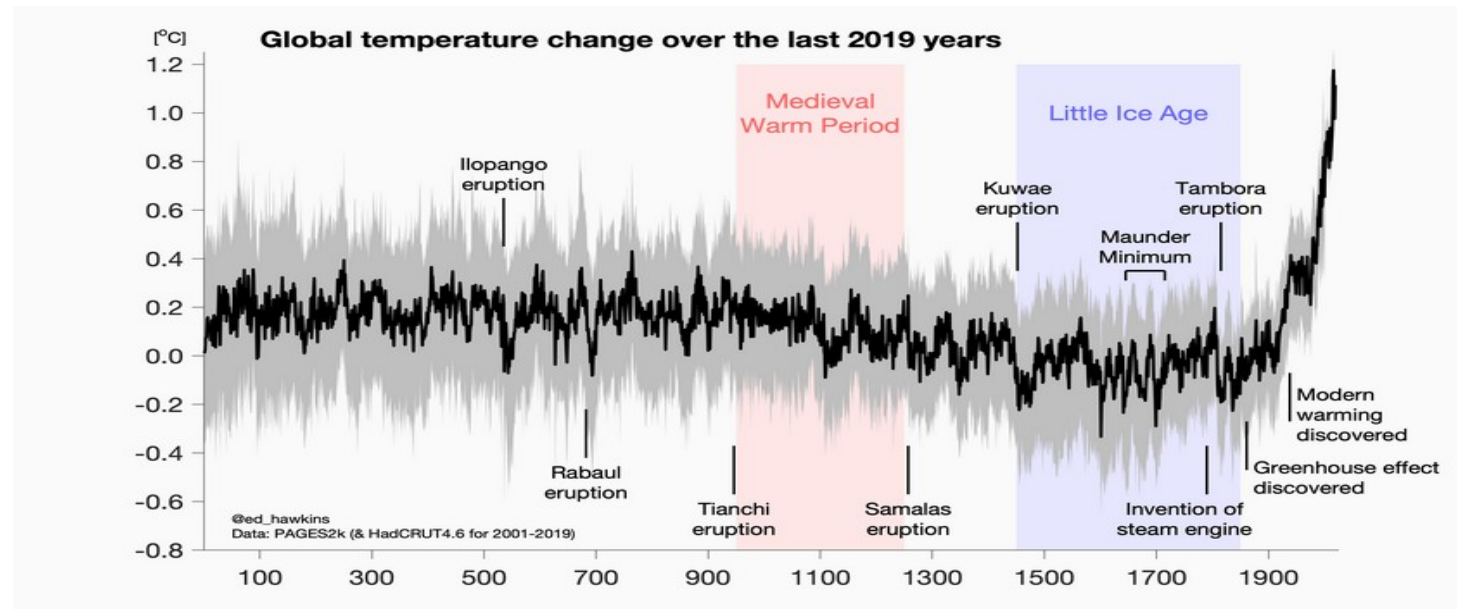
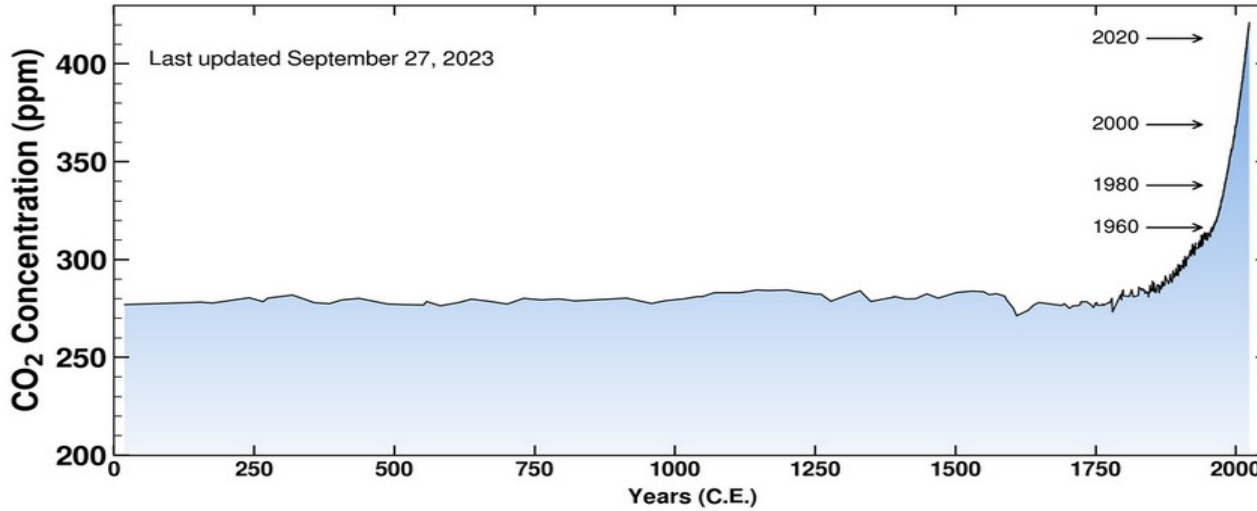
Wymuszenia orbitalne (D) i sprzeżenia (D) skutkują zmianami w bilansie radiacyjnym (D) i dalej odpowiednią zmiennością temperatury (A).



Friedrich et al.,
Science Advances
09 Nov 2016:
Vol. 2, no. 11,
e1501923
DOI:
10.1126/sciadv.1501923

Zmiany koncentracji CO₂: kiedyś sprzeżenie, dziś wymuszenie.





Odczynienie średniej globalnej temperatury powierzchni Ziemi od średniej z lat 1850-1900

°C

2.0

1.5

1.0

0.5

0.0

-0.5

1850

1900

1950

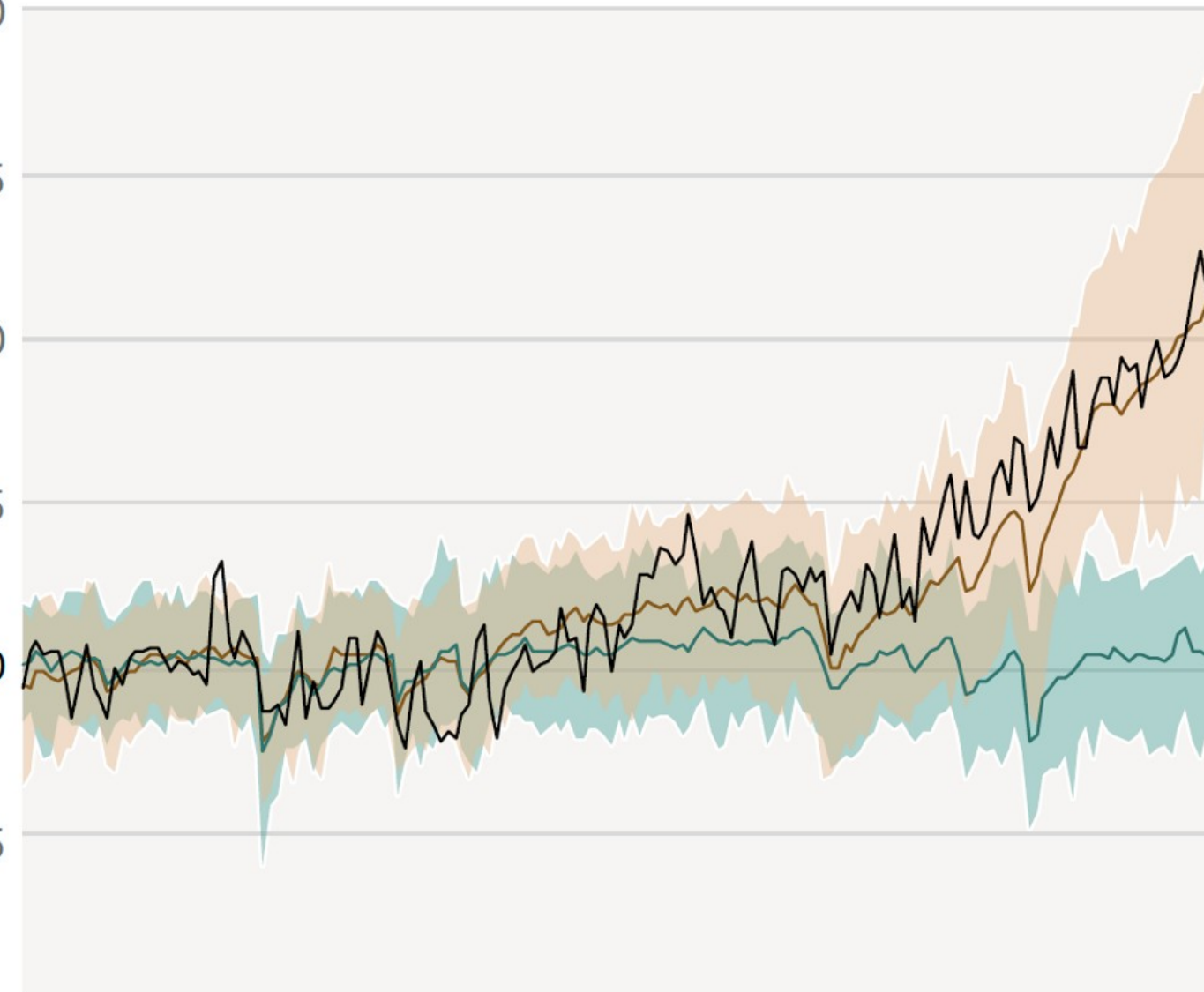
2000

2020

IPCC 6AR

obserwacje
symulacje:
antropogeniczne
i naturalne

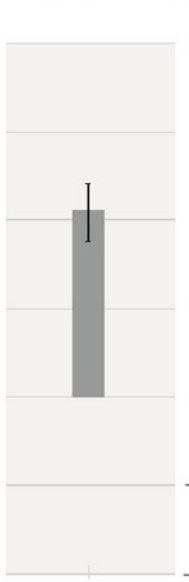
symulacje:
wyłącznie naturalne
(Słońce i wulkany)



Obserwowane ocieplenie jest spowodowane emisjami będącymi skutkiem działalności człowieka, ocieplenie związane z gazami cieplarnianymi jest częściowo maskowane przez chłodzący wpływ aerozoli

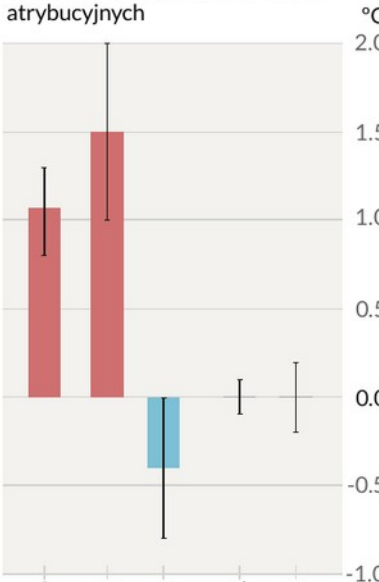
Obserwowane ocieplenie

a) Ocieplenie obserwowane w okresie 2010–2019 względem okresu 1850–1900

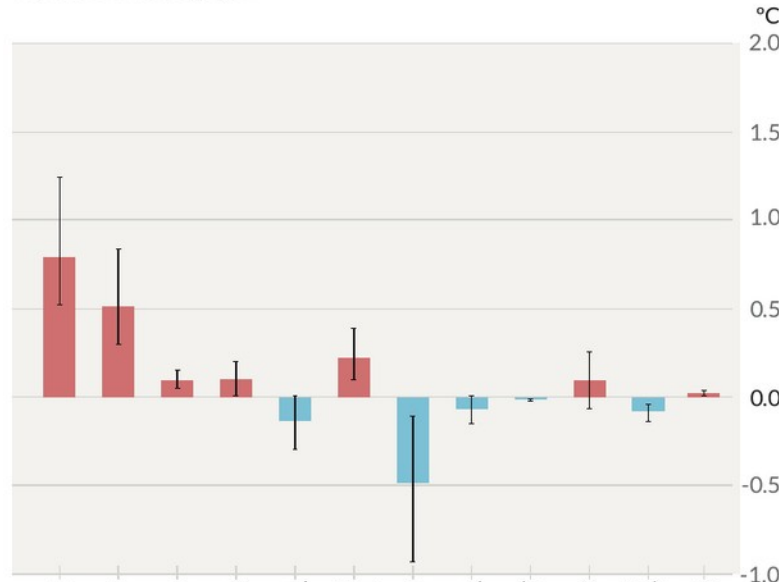


Wkłady w ocieplenie oszacowane na podstawie dwóch uzupełniających się metod

b) Wkład w ocieplenie w okresie 2010–2019 względem okresu 1850–1900, oszacowany na podstawie badań atrybutycznych



c) Wkład w ocieplenie w okresie 2010–2019 względem okresu 1850–1900, oszacowany na podstawie badań wymuszeń radiacyjnych

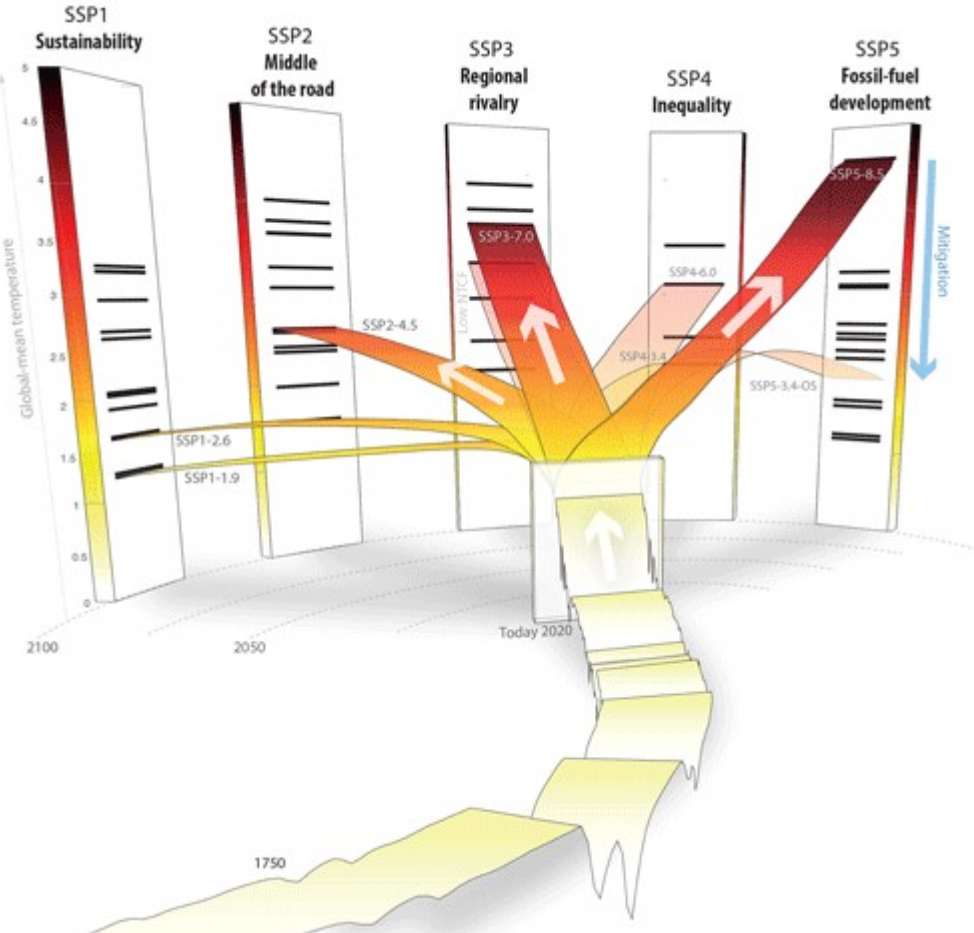


Ciągły wpływ antropogeniczny

Główny wkład do zmian gazów cieplarnianych innych niż CO₂

Główny wkład do zmian aerozoli antropogenicznych

Scenariusze do projekcji klimatu

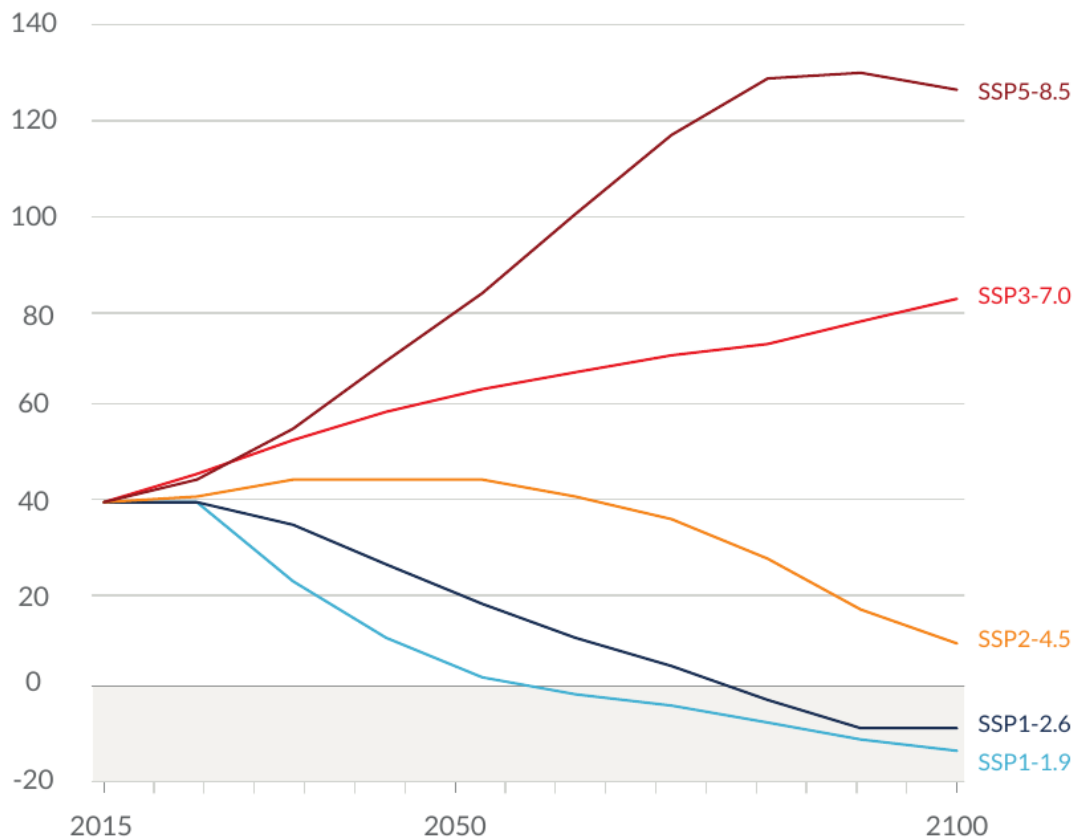


Meinshausen, M., Nicholls, Z. R. J., Lewis, J., Gidden, M. J., Vogel, E., Freund, M., Beyerle, U., Gessner, C., Nauels, A., Bauer, N., Canadell, J. G., Daniel, J. S., John, A., Krummel, P. B., Luderer, G., Meinshausen, N., Montzka, S. A., Rayner, P. J., Reimann, S., Smith, S. J., van den Berg, M., Velders, G. J. M., Vollmer, M. K., and Wang, R. H. J.: The shared socio-economic pathway (SSP) greenhouse gas concentrations and their extensions to 2500, Geosci. Model Dev., 13, 3571–3605, <https://doi.org/10.5194/gmd-13-3571-2020>, 2020.

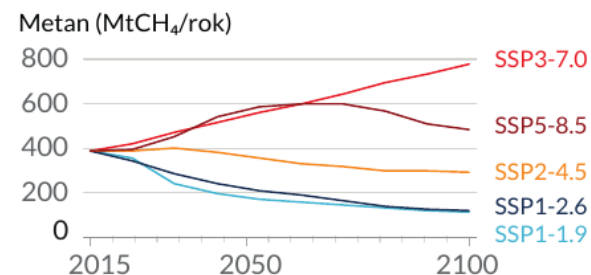
Przyszłe emisje spowodują w przyszłości dodatkowe ocieplenie. Całkowite ocieplenie w przyszłości będzie przede wszystkim efektem dotychczasowych i przyszłych emisji CO₂

a) Przyszłe roczne emisje CO₂ (po lewej) oraz wybranych istotnych substancji innych niż CO₂ (po prawej) według pięciu przykładowych scenariuszy

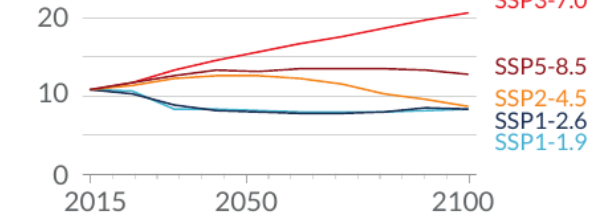
Dwutlenek węgla (GtCO₂/rok)



Wybrane gazy cieplarniane inne niż CO₂

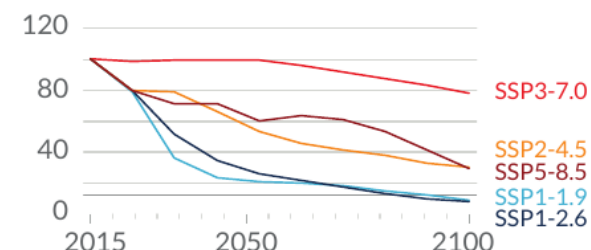


Podtlenek azotu (MtN2O/rok)



Wybrana substancja zanieczyszczająca powietrze będąca też prekurem aerozoli

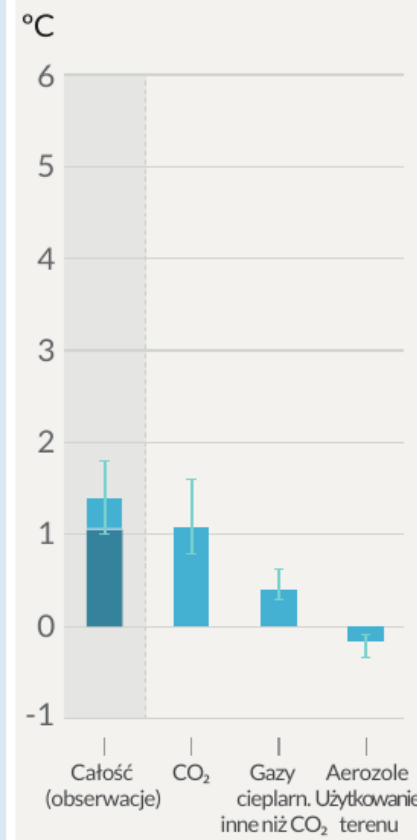
Dwutlenek siarki (MtSO₂/rok)



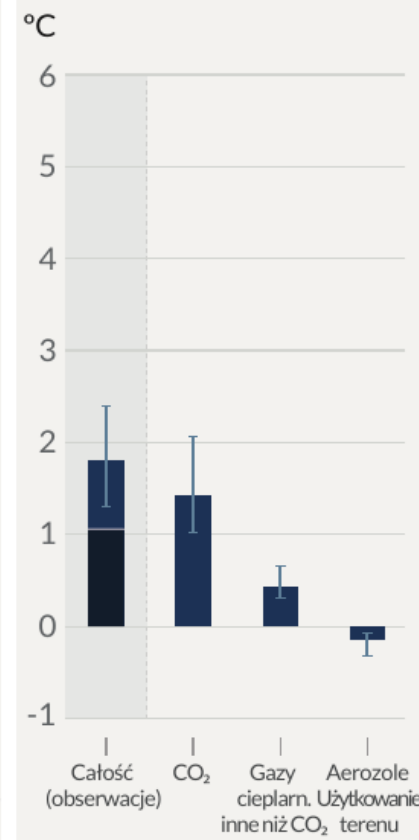
b) Udział emisji różnych substancji, głównie CO₂ we wzrostie temperatury Ziemi

Zmiana globalnej temperatury powierzchni w okresie 2081–2100 w stosunku do okresu 1850–1900 (°C)

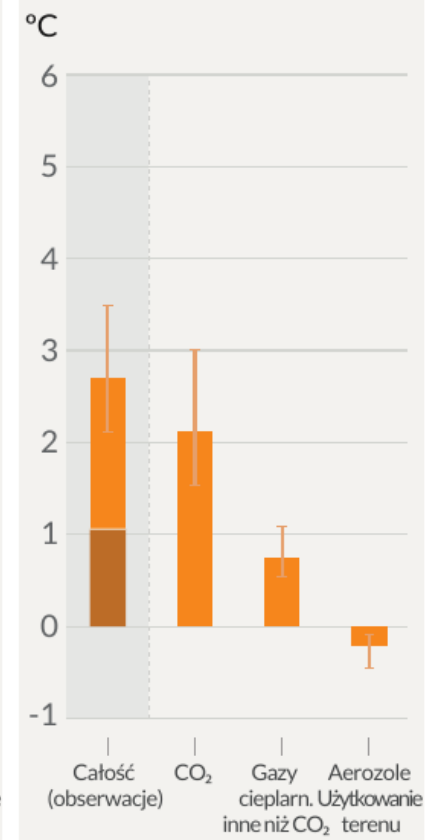
SSP1-1.9



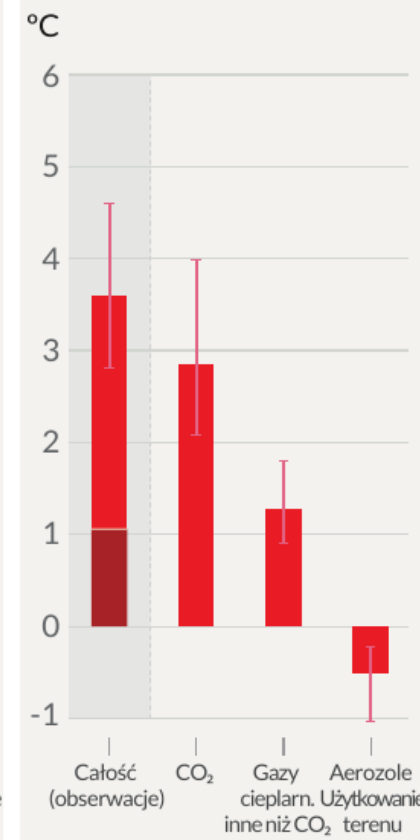
SSP1-2.6



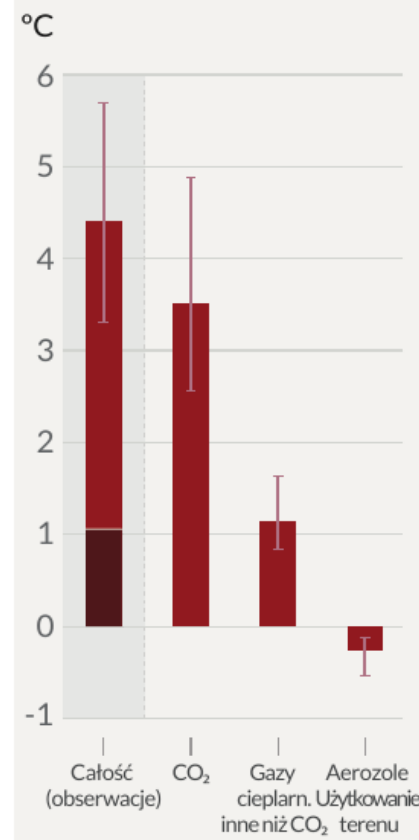
SSP2-4.5



SSP3-7.0



SSP5-8.5



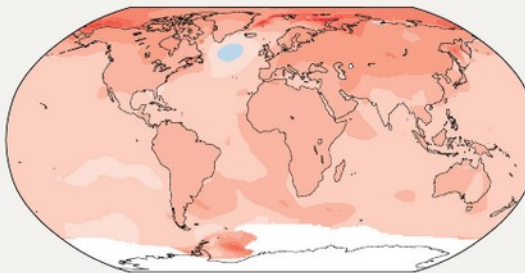
Całkowite ocieplenie (dotychczasowe ocieplenie w ciemniejszym odcieniu), ocieplenie spowodowane CO₂, ocieplenie spowodowane gazami cieplarnianymi innymi niż CO₂ oraz chłodzenie spowodowane zmianami aerozoli i użytkowania terenu

Z każdym wzrostem globalnego ocieplenia regionalne zmiany średnich temperatur, opadów i wilgotności gleby stają się coraz większe

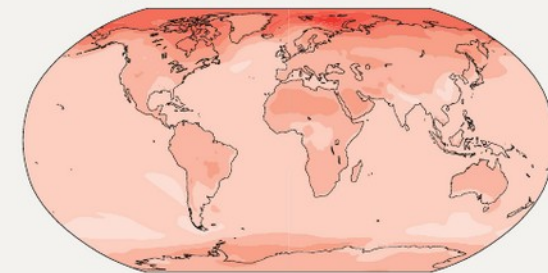
a) Zmiany średniej rocznej temperatury ($^{\circ}\text{C}$) przy globalnym ocieplaniu o 1°C

Ocieplenie o 1°C dotyczy wszystkie kontynenty i jest generalnie większe na lądzie niż nad oceanami, co pokazują zarówno obserwacje jak i symulacje. Dla większości regionów obserwacje zgadzają się z wynikami modelowania.

Zmiany dla globalnego ocieplenia o 1°C na podstawie pomiarów



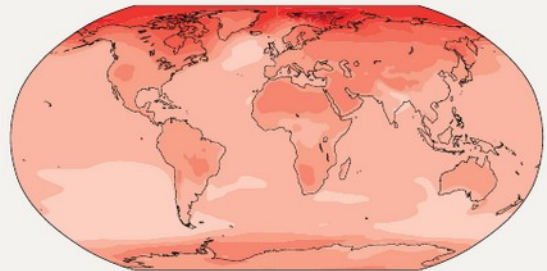
Zmiany dla globalnego ocieplenia o 1°C na podstawie symulacji modelami klimatu



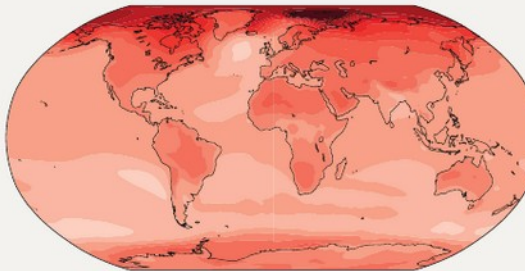
b) Zmiany średniej rocznej temperatury ($^{\circ}\text{C}$) w stosunku do okresu 1850–1900

Dla wszystkich poziomów ocieplenia lądy ocieplają się szybciej niż oceany, a Arktyka i Antarktyda ocieplają się szybciej niż tropiki.

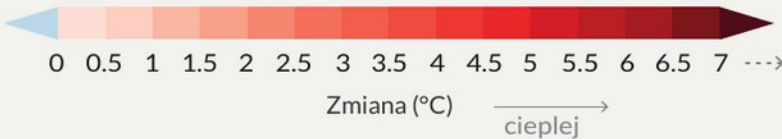
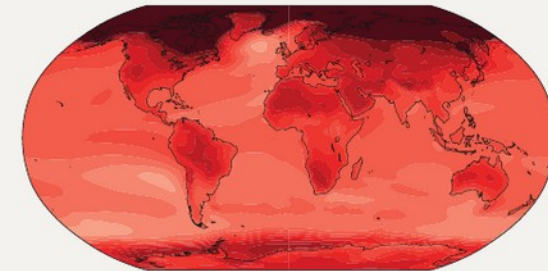
Symulowane zmiany dla globalnego ocieplenia o $1,5^{\circ}\text{C}$



Symulowane zmiany dla globalnego ocieplenia o 2°C



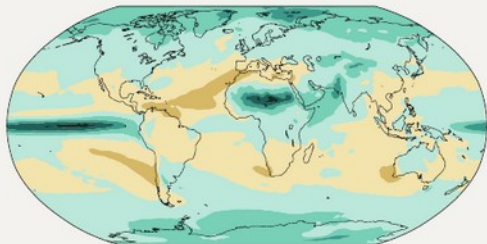
Symulowane zmiany dla globalnego ocieplenia o 4°C



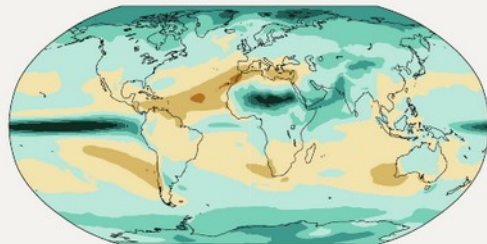
c) Zmiana średnich opadów rocznych (%) w stosunku do okresu 1850-1900

Prognozuje się wzrost opadów w wysokich szerokościach geograficznych, na równikowym Pacyfiku i w części regionów monsunowych, oraz spadek opadów na części obszarów subtropikalnych i na niewielkiej części obszarów tropików.

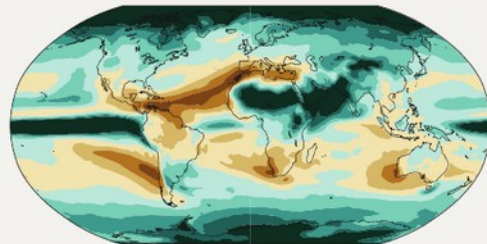
Symulowane zmiany dla globalnego ocieplenia o $1,5^{\circ}\text{C}$



Symulowane zmiany dla globalnego ocieplenia o 2°C



Symulowane zmiany dla globalnego ocieplenia o 4°C



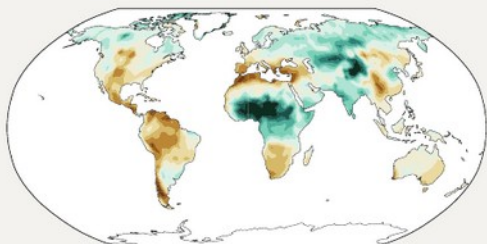
Dla regionów suchych stosunkowo mała zmiana bezwzględna może okazać się dużą zmianą w %.



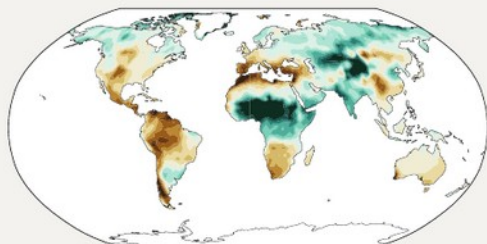
d) Zmiana średniej rocznej wilgotności w całym profilu glebowym (odchylenia standardowe)

Dla wszystkich progów ocieplenia, zmiany wilgotności gleby odzwierciedlają w dużej mierze zmiany w opadach, jednak widoczne są również pewne różnice wynikające z wpływu ewapotranspiracji.

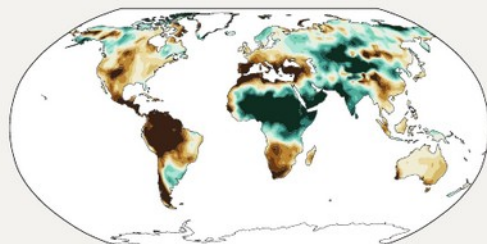
Symulowane zmiany dla globalnego ocieplenia o $1,5^{\circ}\text{C}$



Symulowane zmiany dla globalnego ocieplenia o 2°C



Symulowane zmiany dla globalnego ocieplenia o 4°C

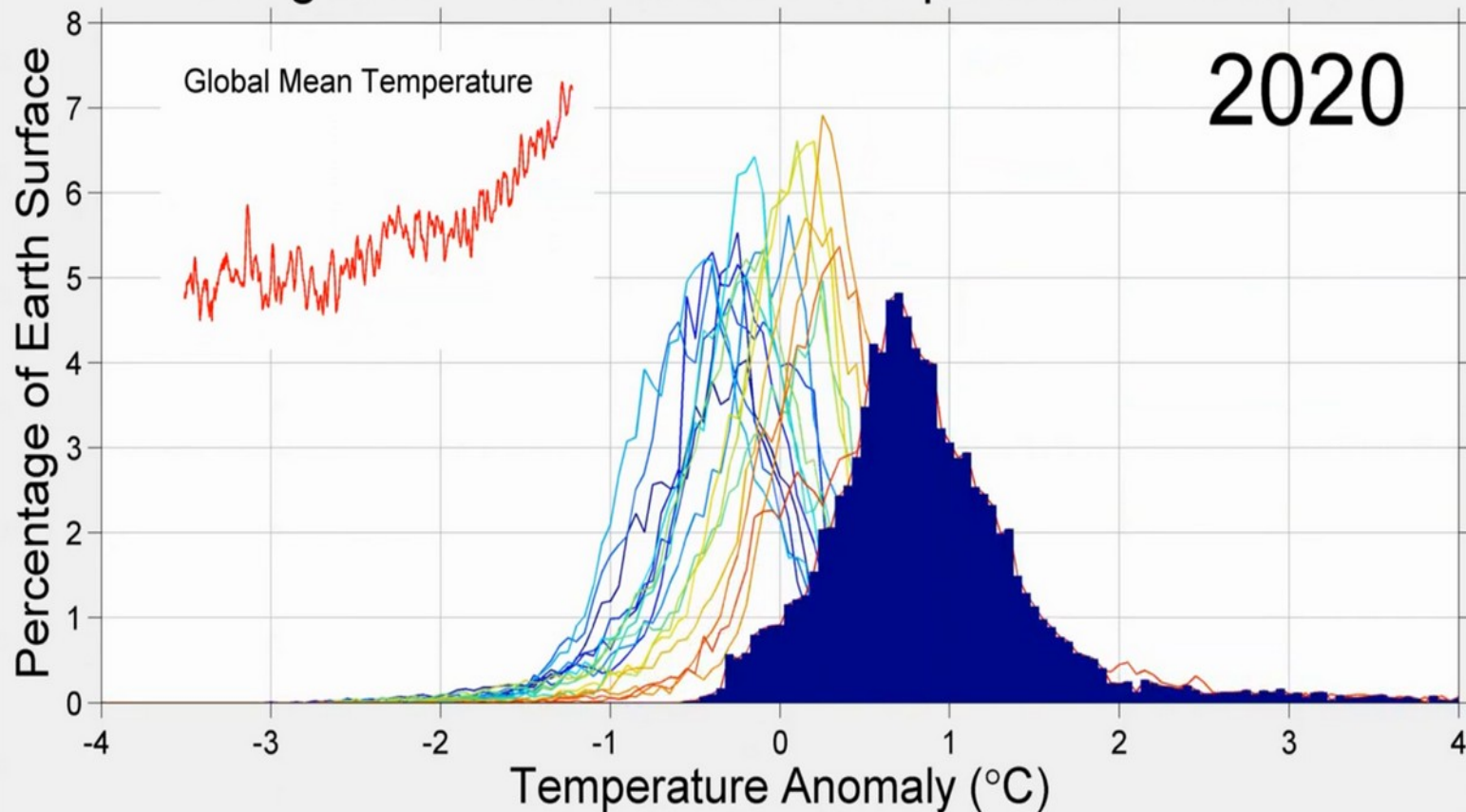


Dla regionów suchych o małej zmienności warunków w poszczególnych latach, stosunkowo małe zmiany bezwzględne mogą jawić się jako duże, jeśli są wyrażone w jednostkach odchylenia standardowego.



Changes in Earth's Surface Temperature Distribution

2020



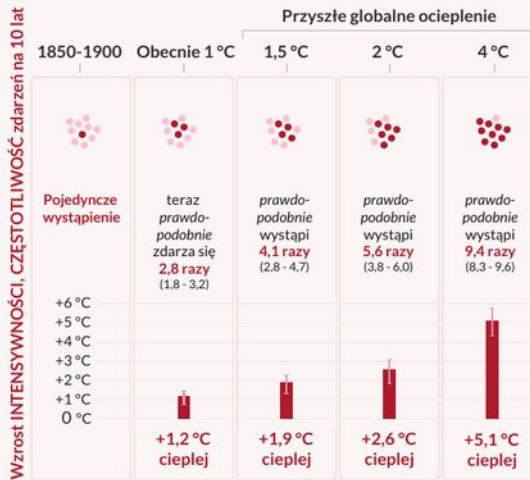
Data Source: 12-month surface temperature anomaly distributions from Berkeley Earth, relative to 1951-1980 average.

Częstotliwość występowania anomalii temperatury
względem
okresu bazowego 1951–1980.
Rozkład rozszerza się, rośnie skośność po stronie

Intensywność i częstotliwość prognozowanych zmian w ekstremach rośnie z każdym postępem globalnego ocieplenia

Zdarzenie 10-letnie

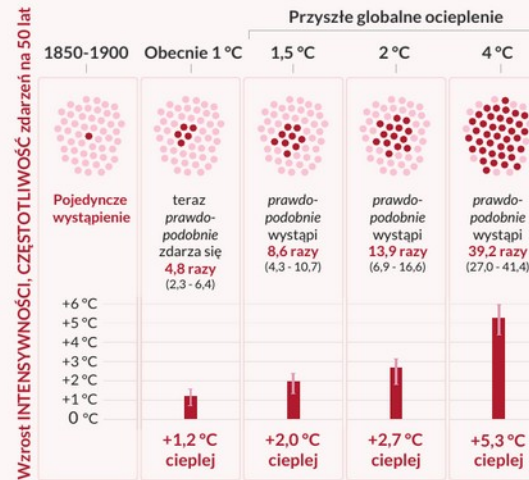
Częstotliwość i wzrost intensywności ekstremów ciepła, które w klimacie bez wpływu człowieka występowały średnio raz na 10 lat



Ekstrema ciepła nad lądami

Zdarzenie 50-letnie

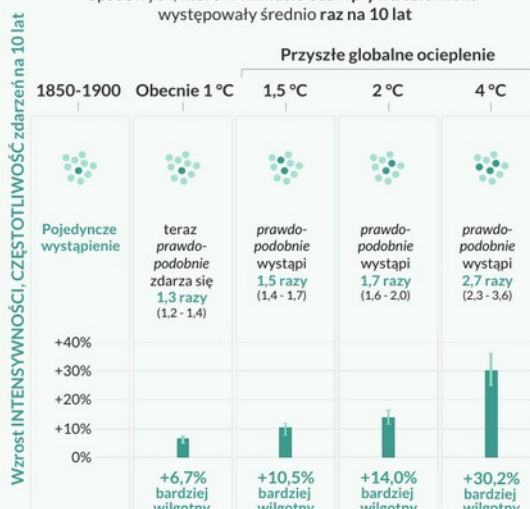
Częstotliwość i wzrost intensywności ekstremów ciepła, które w klimacie bez wpływu człowieka występowały średnio raz na 50 lat



Ekstrema opadowe nad lądami

Zdarzenie 10-letnie

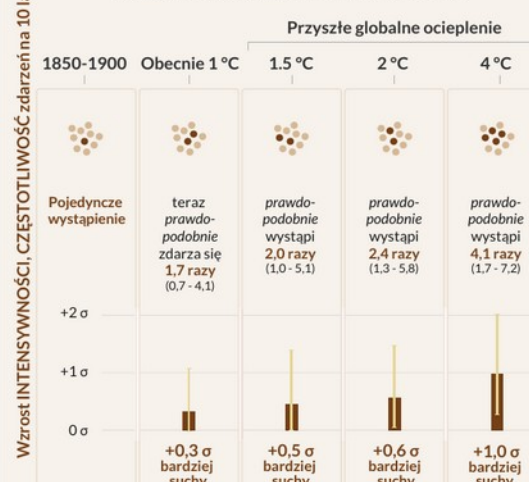
Częstotliwość i wzrost intensywności dobowych ekstremów opadowych, które w klimacie bez wpływu człowieka występowały średnio raz na 10 lat



Susze rolnicze i środowiskowe w wysychających regionach

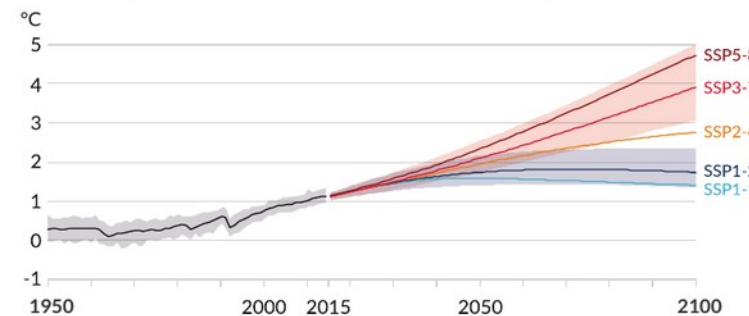
Zdarzenie 10-letnie

Częstość występowania i wzrost intensywności susz rolniczych i hydrologicznych, które w klimacie bez wpływu człowieka występowały w regionach wysychających średnio raz na 10 lat

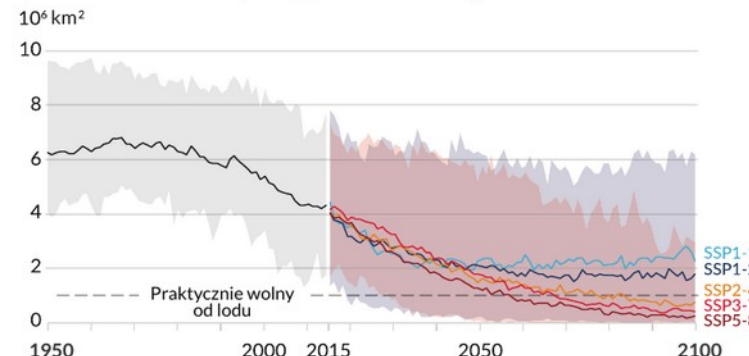


Działalność człowieka wpływa na wszystkie główne składniki systemu klimatycznego, z których niektóre reagują w ciągu dekad, inne zaś w ciągu stuleci

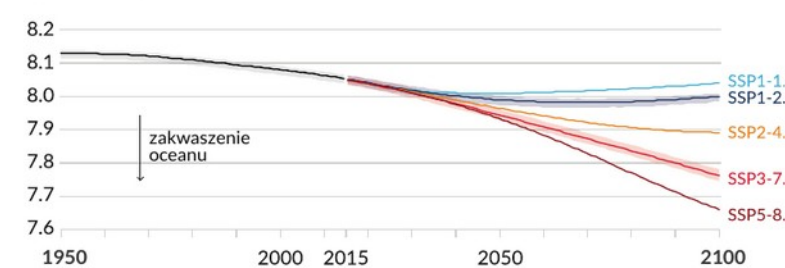
a) Zmiana globalnej temperatury powierzchni względem okresu 1850–1900



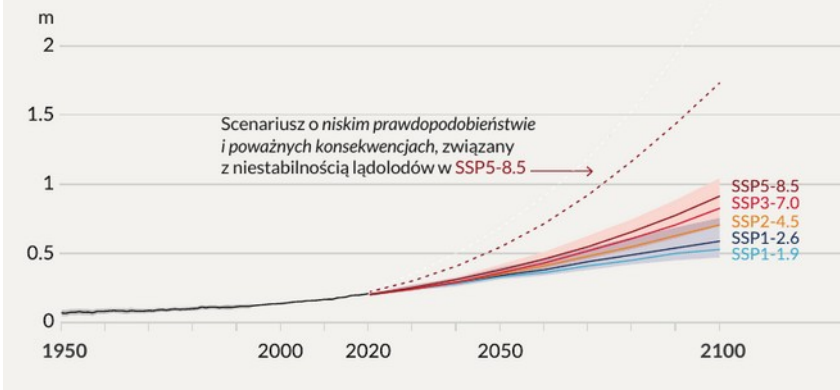
b) Powierzchnia arktycznego lodu morskiego we wrześniu



c) pH wód powierzchniowych Wszechoceanu (miara zakwaszenia oceanu)

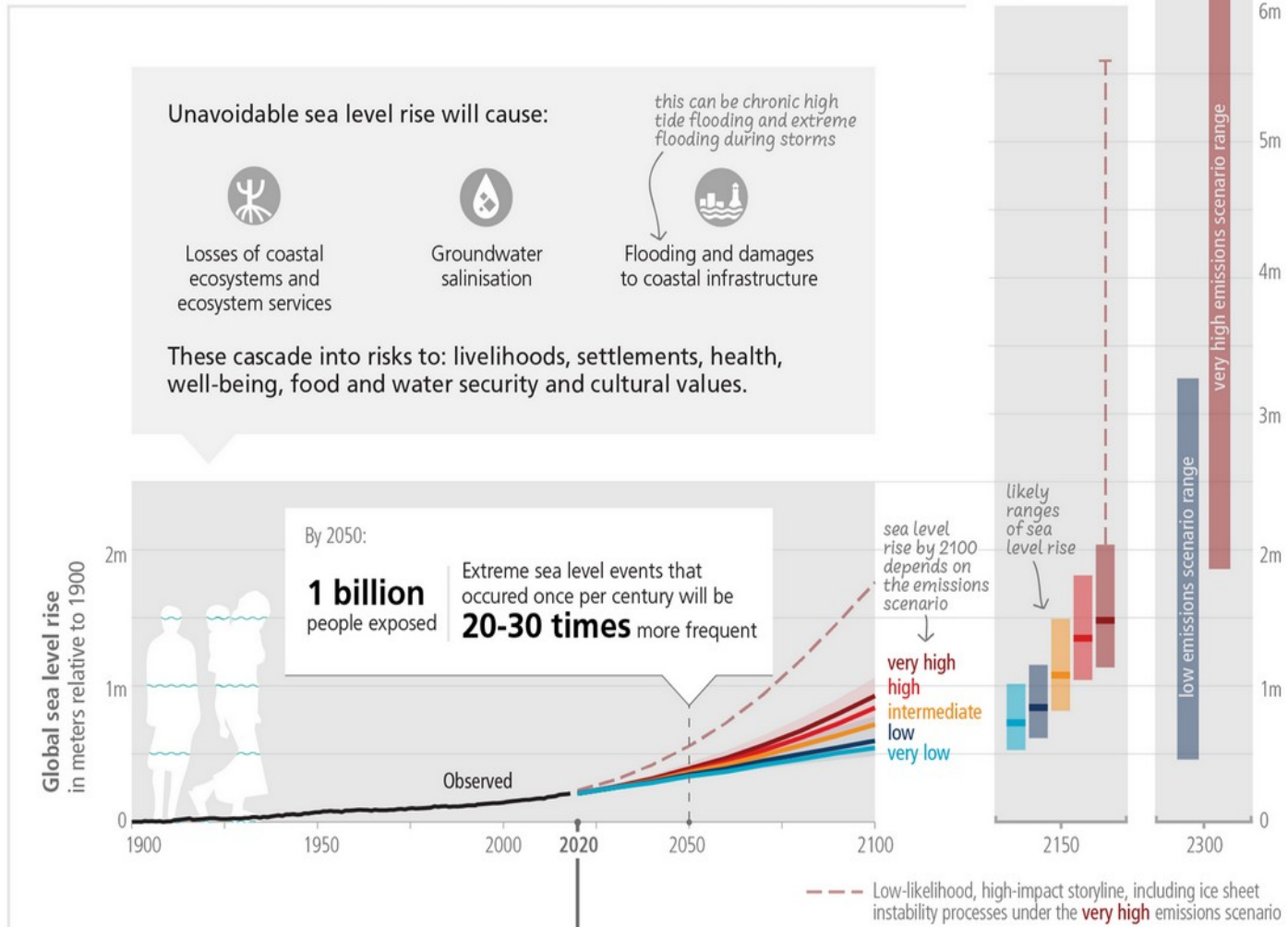


d) Zmiana średniego globalnego poziomu morza w stosunku do roku 1900

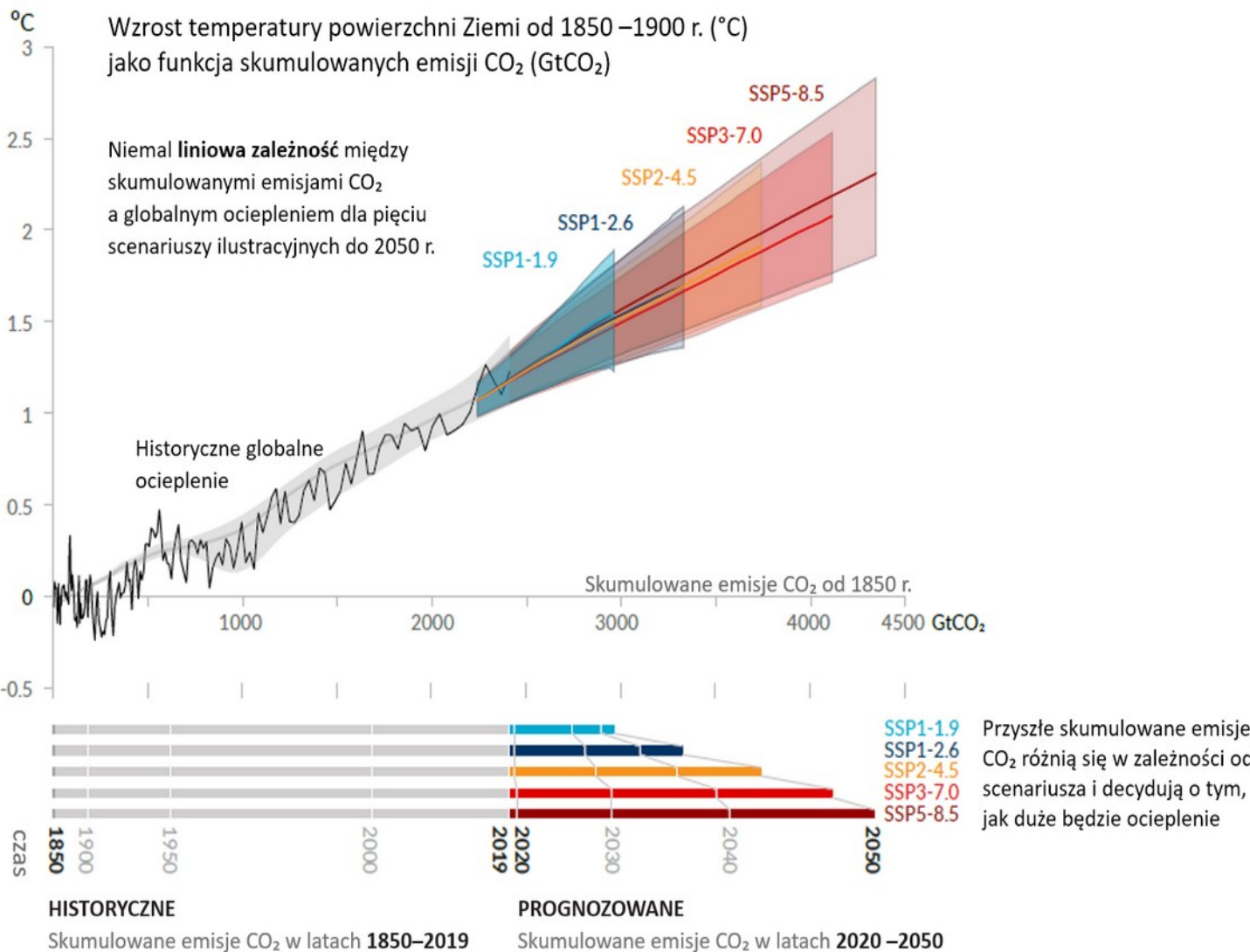


Sea level rise will continue for millennia, but how fast and how much depends on future emissions

a) Sea level rise: observations and projections 2020-2100, 2150, 2300 (relative to 1900)



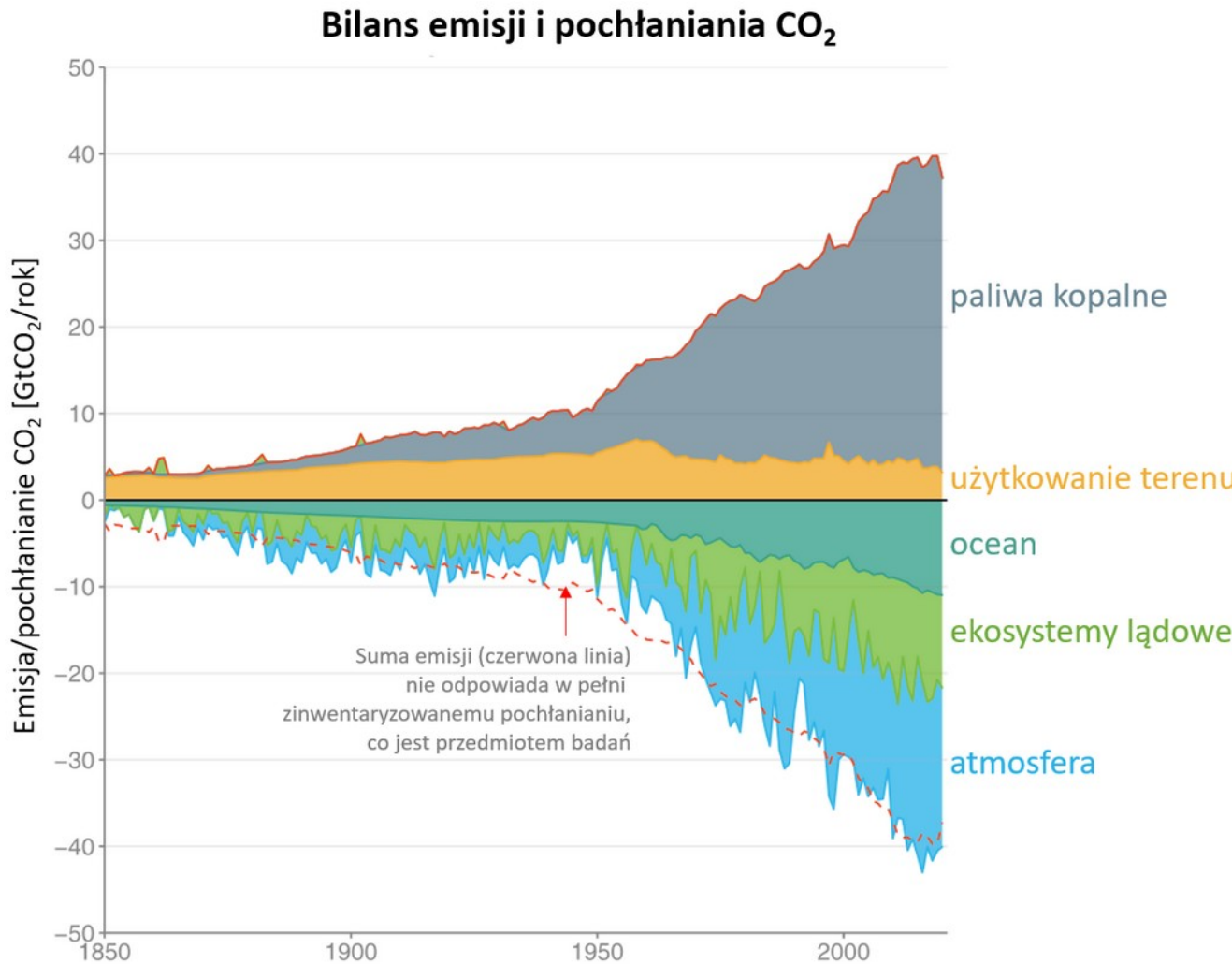
Prawie liniowa zależność pomiędzy skumulowaną emisją CO₂ a wzrostem temperatury powierzchni Ziemi.



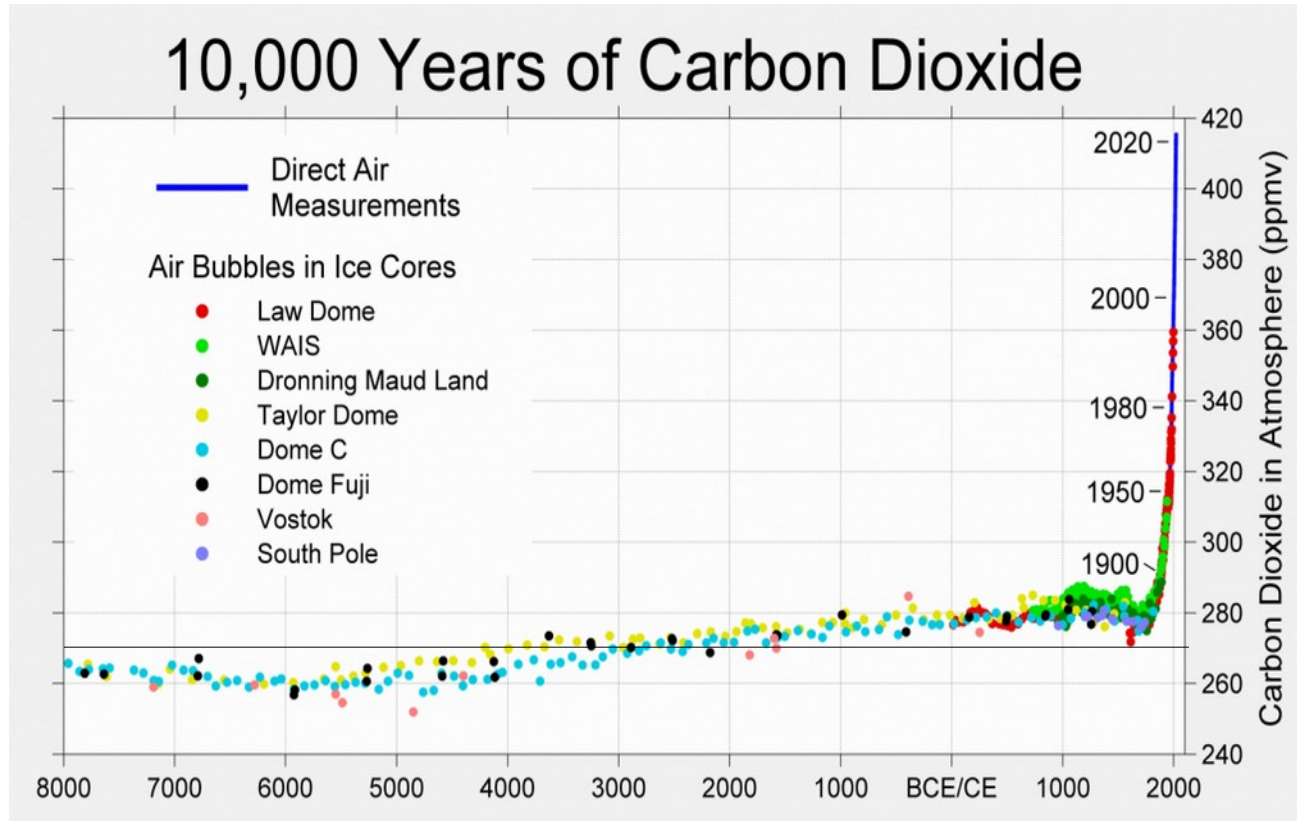
Panel górnny:
Dane historyczne (cienka czarna linia) - obserwowany wzrost globalnej temperatury powierzchni w °C od 1850 – 1900 w funkcji historycznych skumulowanych emisji dwutlenku węgla (CO₂) od 1850 do 2019 roku wyrażonych w GtCO₂. Szary zakres ze środkową linią - oszacowanie historycznego ocieplenia. Kolorowe obszary - bardzo prawdopodobny (95%) zakres prognoz temperatury, grube kolorowe linie środkowe - mediana szacunków.

Panel dolny:
Historyczne i prognozowane skumulowane emisje CO₂ w GtCO₂ dla odpowiednich scenariuszy.

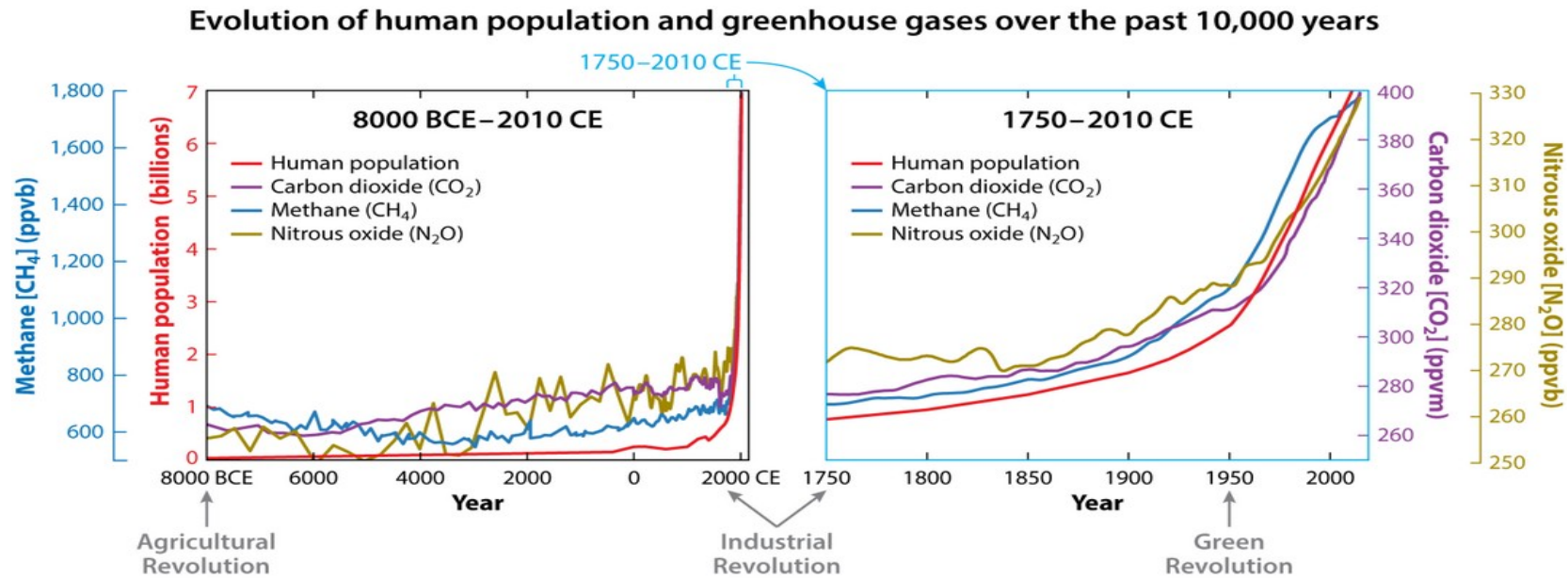
Global carbon budget



1 Gt CO₂=0.2725 Gt C



Koncentracja CO₂ w atmosferze w ciągu ostatnich 10 tysięcy lat.
Oś pozioma - lata naszej ery (CE) i przed naszą erą (BCE). Oś pionowa - stężenie CO₂ w powietrzu.



The abrupt and simultaneous upward trajectories of human population and greenhouse gases after the start of the Industrial Revolution (~1750), and the distinct acceleration after the start of the Green Revolution (~1950), show that the Human System has become the primary driver of these gases and the changes in the Earth System.

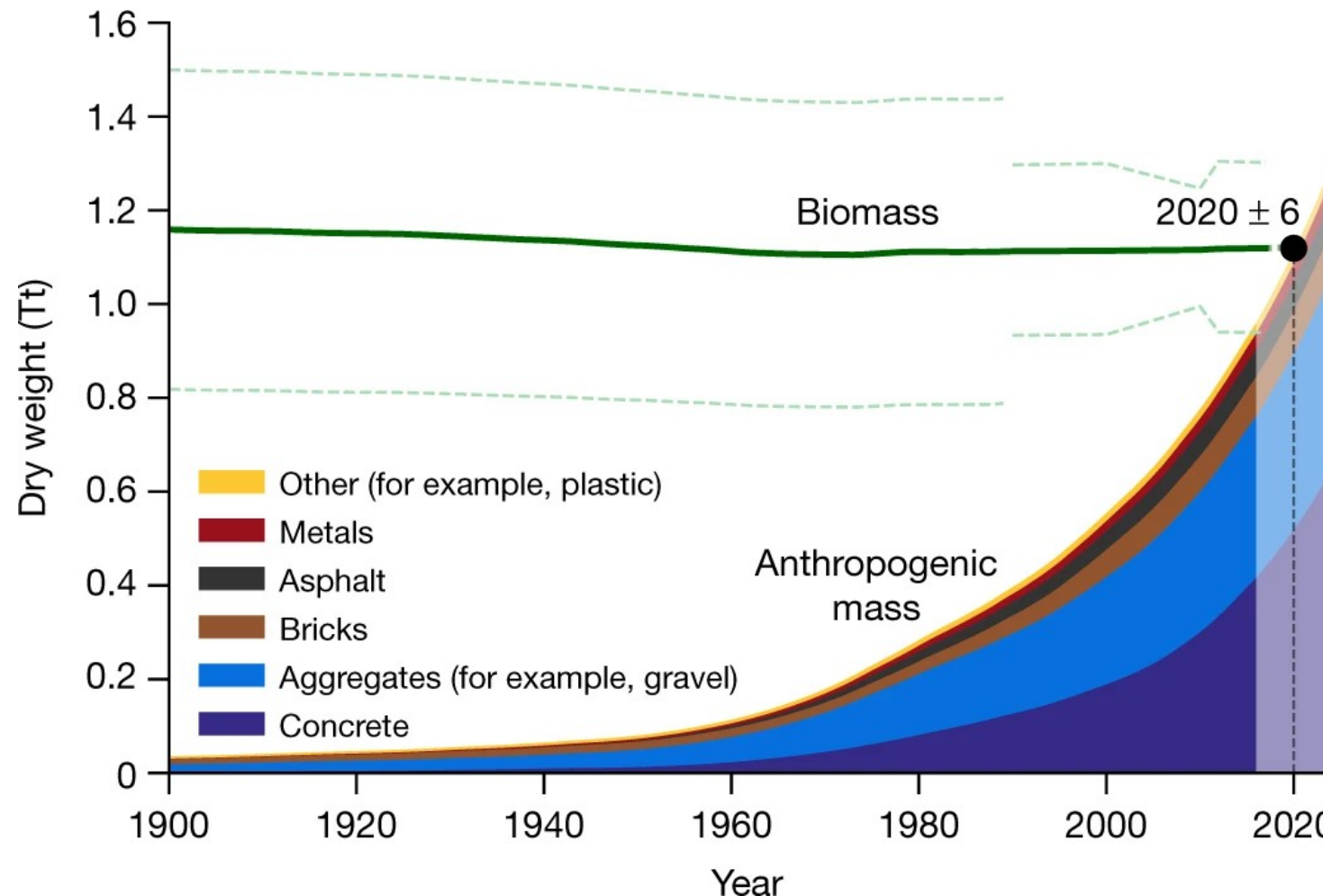
Adapted from Fu & Li (2016), CC-BY, <https://doi.org/10.1093/nsr/nww094>.



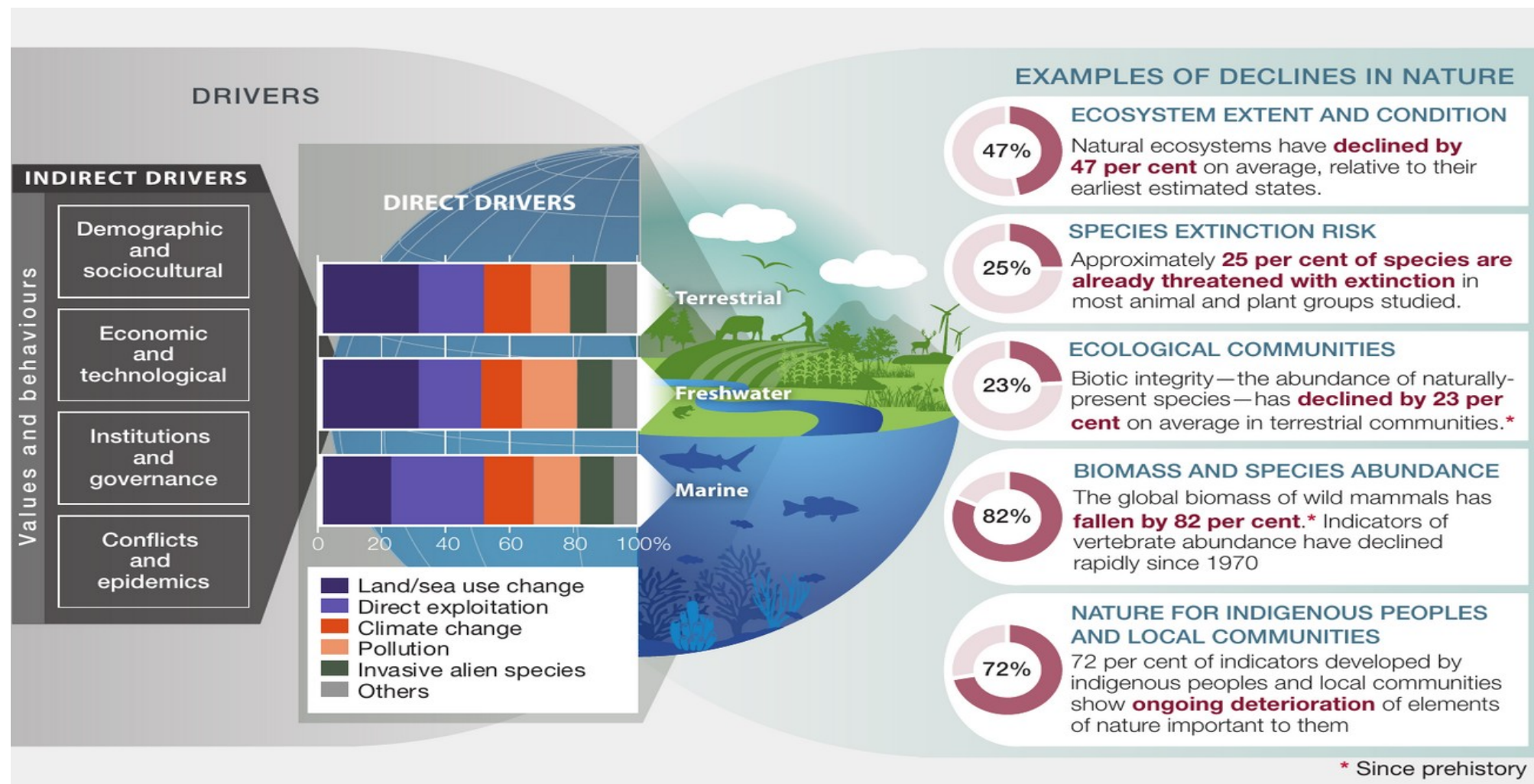
Mote S, et al. 2020.
Annu. Rev. Earth Planet. Sci. 48:657–83

Annual Reviews

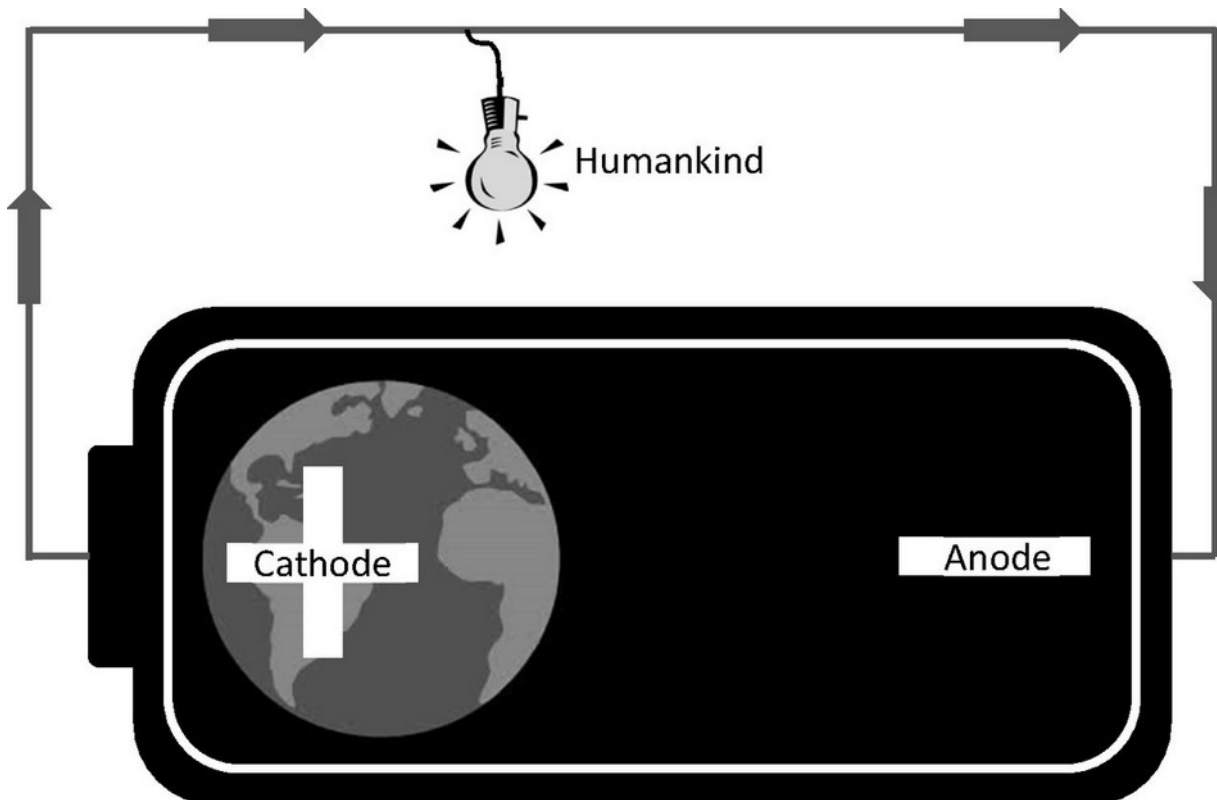
Masa wytworów antropogenicznych jest większa niż masa wszystkich żyjących organizmów



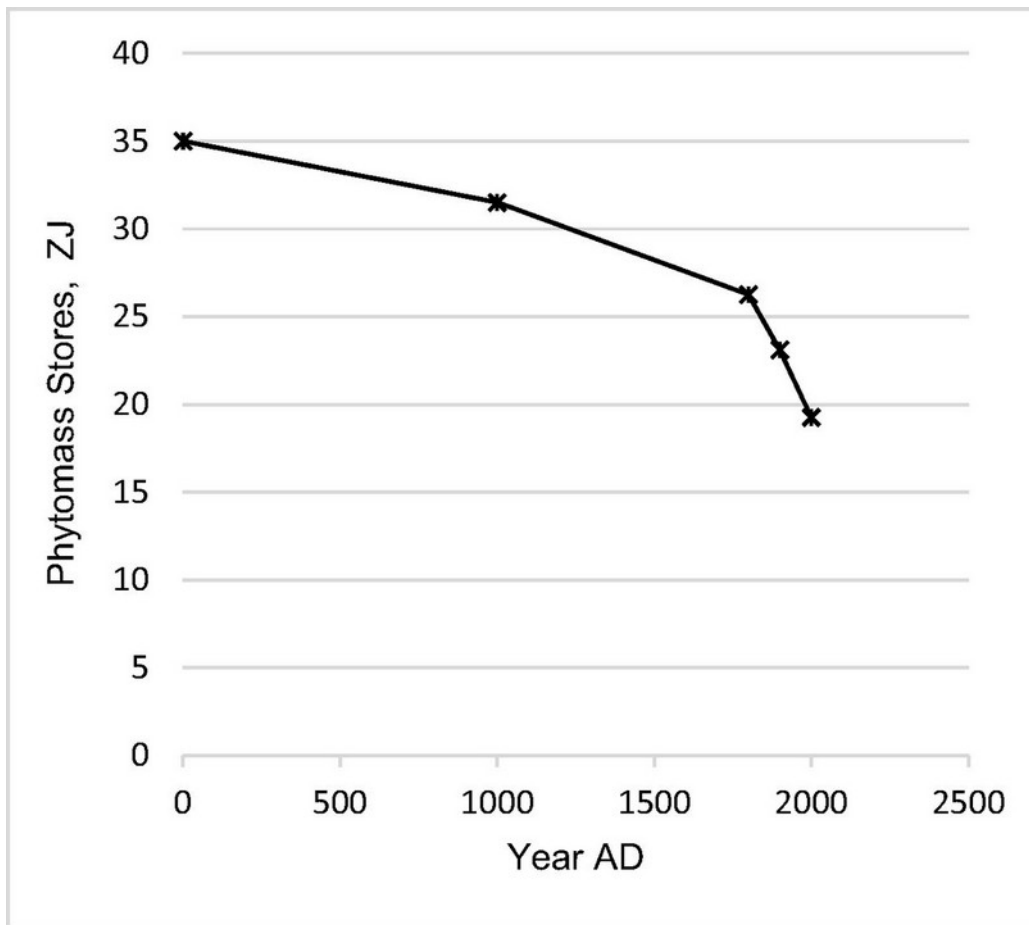
Nie tylko temperatura - raport IPBES na temat bioróżnorodności:



Spadek biomasy (brązowe pole z wykresu z budżetem węgla)).



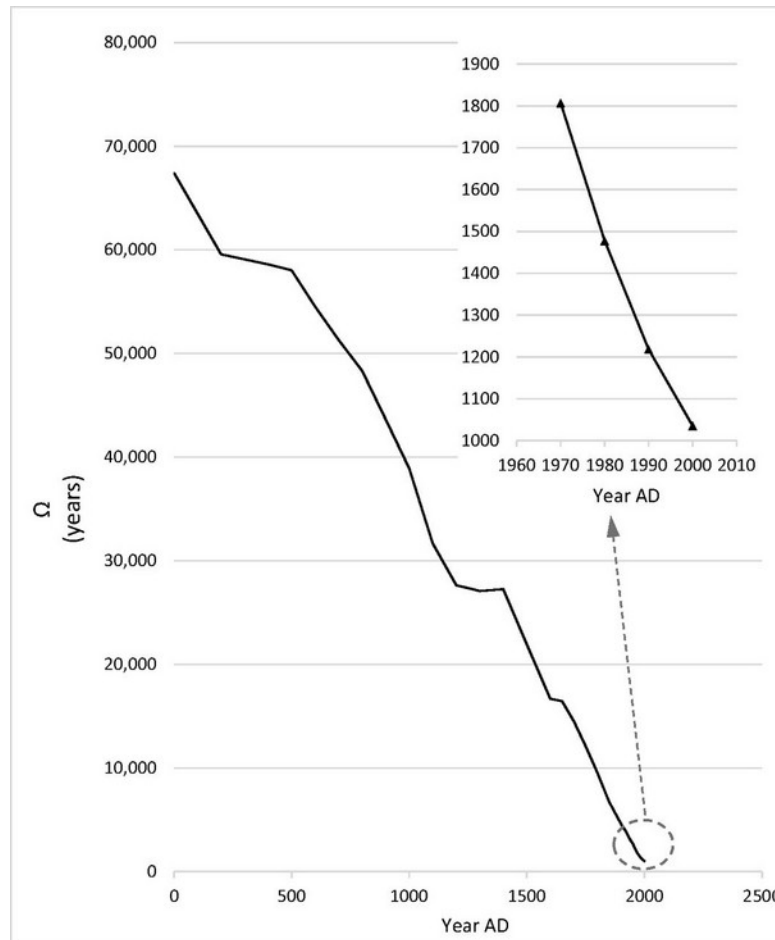
Spadek biomasy (brązowe pole z wykresu z budżetem węgla)).

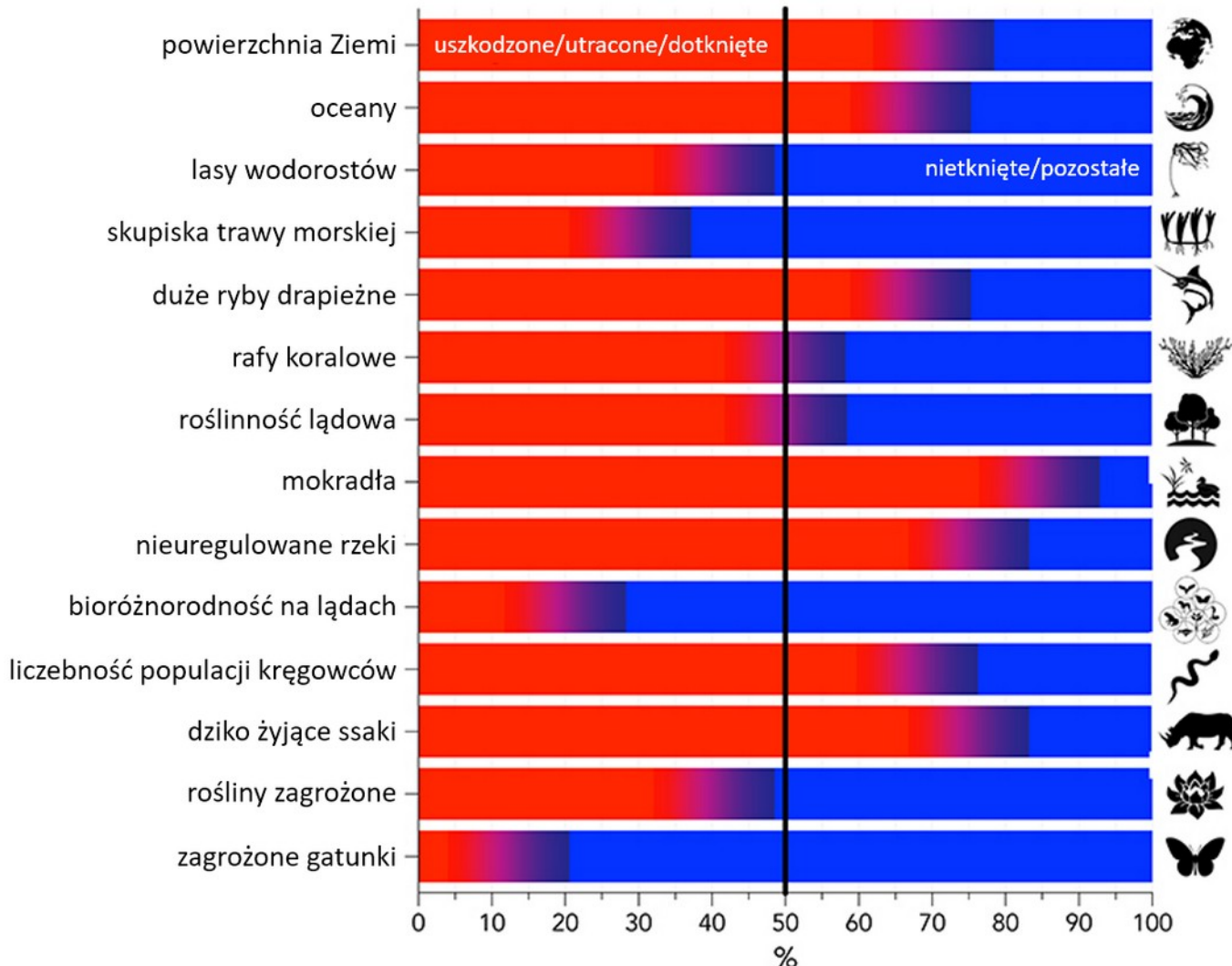


Maksymalna liczba lat na które przy stanie populacji i biomasy z danego roku wystarczyły zasoby masy roślinnej, gdyby całe służyły jedynie żywieniu populacji.

$$\Omega = \frac{P}{BN}$$

P – energia chemiczna w biomasie
B – populacja
N – zapotrzebowanie metaboliczne pojedynczego człowieka w ciągu roku





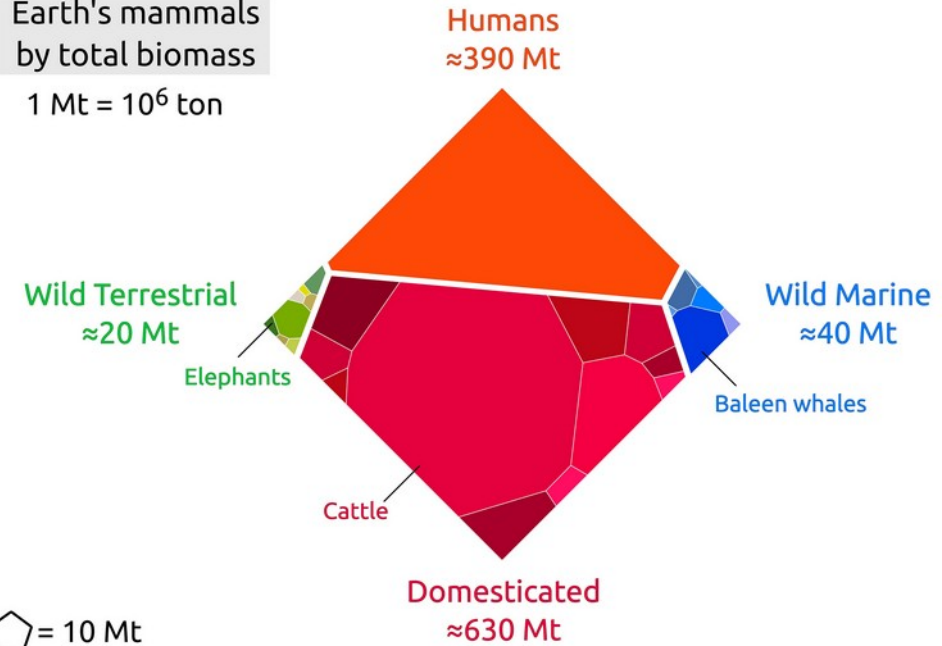
Underestimating the Challenges of Avoiding a Ghastly Future

Corey J. A. Bradshaw^{1,2*}, Paul R. Ehrlich^{3*}, Andrew Beattie⁴, Gerardo Ceballos⁵, Eileen Crist⁶, Joan Diamond⁷, Rodolfo Dirzo⁸, Anne H. Ehrlich⁹, John Harte^{8,9}, Mary Ellen Harte⁴, Graham Pyke¹⁰, Peter H. Raven¹⁰, William J. Ripple¹¹, Frédéric Saltré^{1,2}, Christine Turnbull⁴, Mathis Wackernagel¹² and Daniel T. Blumstein^{12,14*}

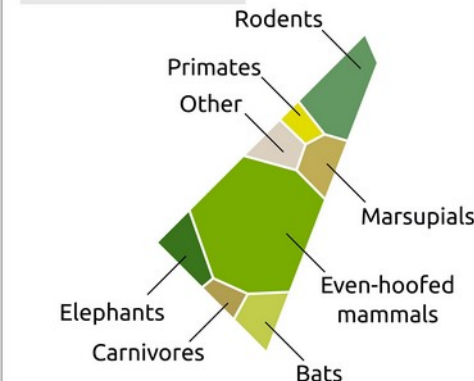
Podsumowanie wpływu ludzkości na wybrane elementy biosfery. Kolor niebieski oznacza ułamek (procent) niedotknięty/niezniszczony przez działalność człowieka, czerwony – zniszczony lub zaburzony.

Earth's mammals by total biomass

1 Mt = 10^6 ton

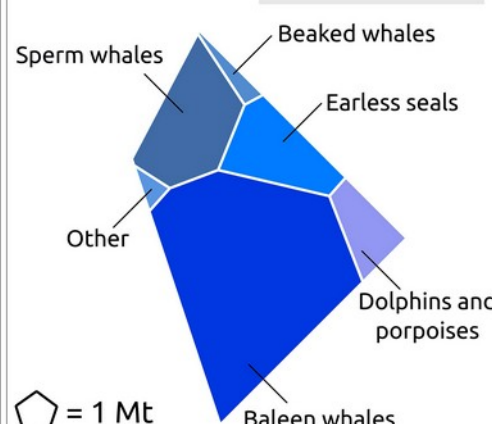


Wild Terrestrial
zoom in



△ = 1 Mt

Wild Marine
zoom in



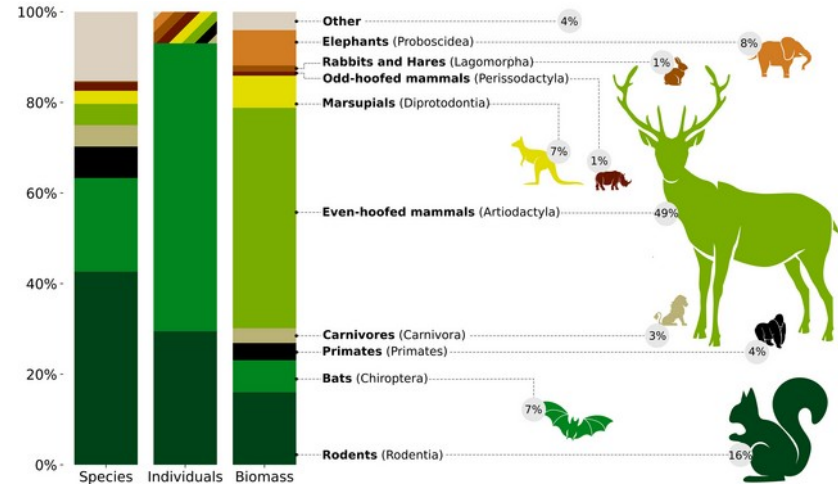
RESEARCH ARTICLE | ECOLOGY | 8

The global biomass of wild mammals

Lior Greenspoon , Eyal Krieger, Ron Sender , +7, and Ron Milo [Authors Info & Affiliations](#)

Edited by Pablo Marquet, Pontificia Universidad Católica de Chile, Santiago, Chile; received March 20, 2022; accepted January 2, 2023

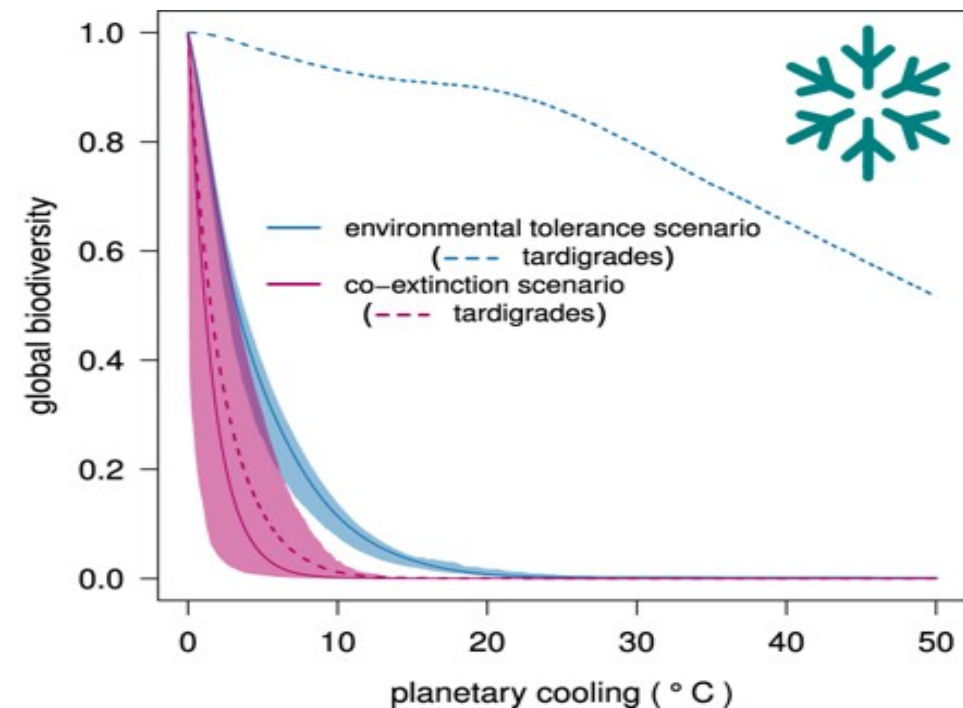
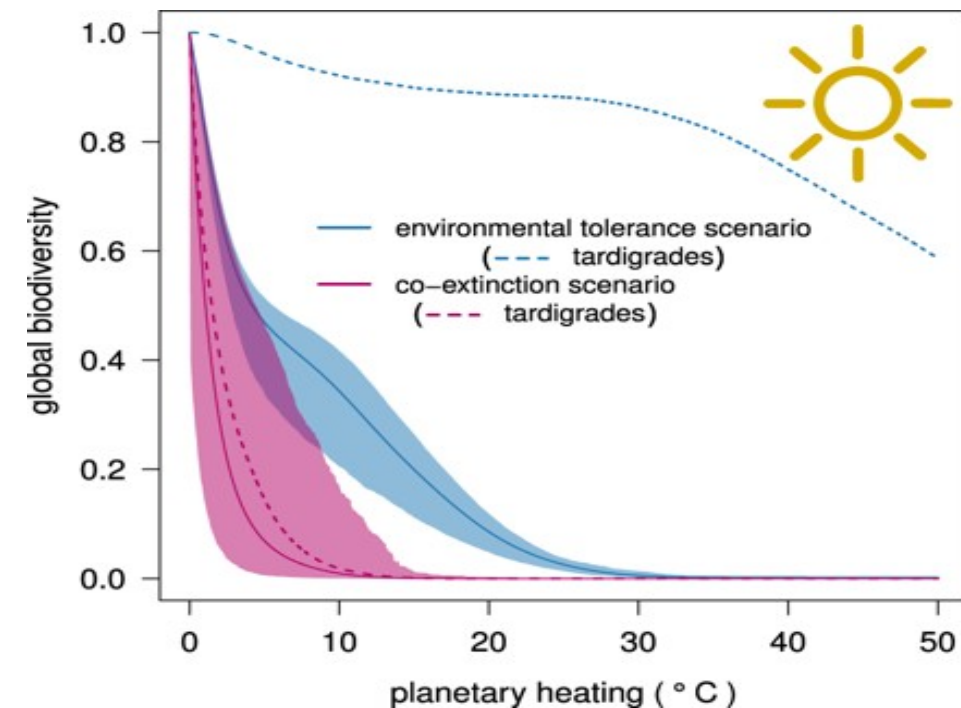
February 27, 2023 | 120 (10) e2204892120 | <https://doi.org/10.1073/pnas.2204892120>



The global biomass distribution of the mammalian class, represented by a Voronoi diagram.

The area of each cell is proportional to the biomass contribution of each group.

To compare: ants are equivalent to ~80 Mt of biomass.



Co-extinctions reduce the robustness of planetary life to catastrophe. Response of global diversity to environmental change: progressive, monotonic increase ('planetary heating'; left panel) or decrease ('planetary cooling'; right panel) trajectories in local temperature. Species either go extinct based only on their tolerance to environmental conditions ('environmental tolerance' scenarios = blue curves), or where species go extinct not only when unable to cope with changed environmental conditions, but also following the depletion of their essential resources ('co-extinction' scenarios = magenta curves)



„Przedstawiamy trzy główne kwestie środowiskowe przed którymi stoimy, którym poświęcono niewiele uwagi, a które wymagają pilnych działań:

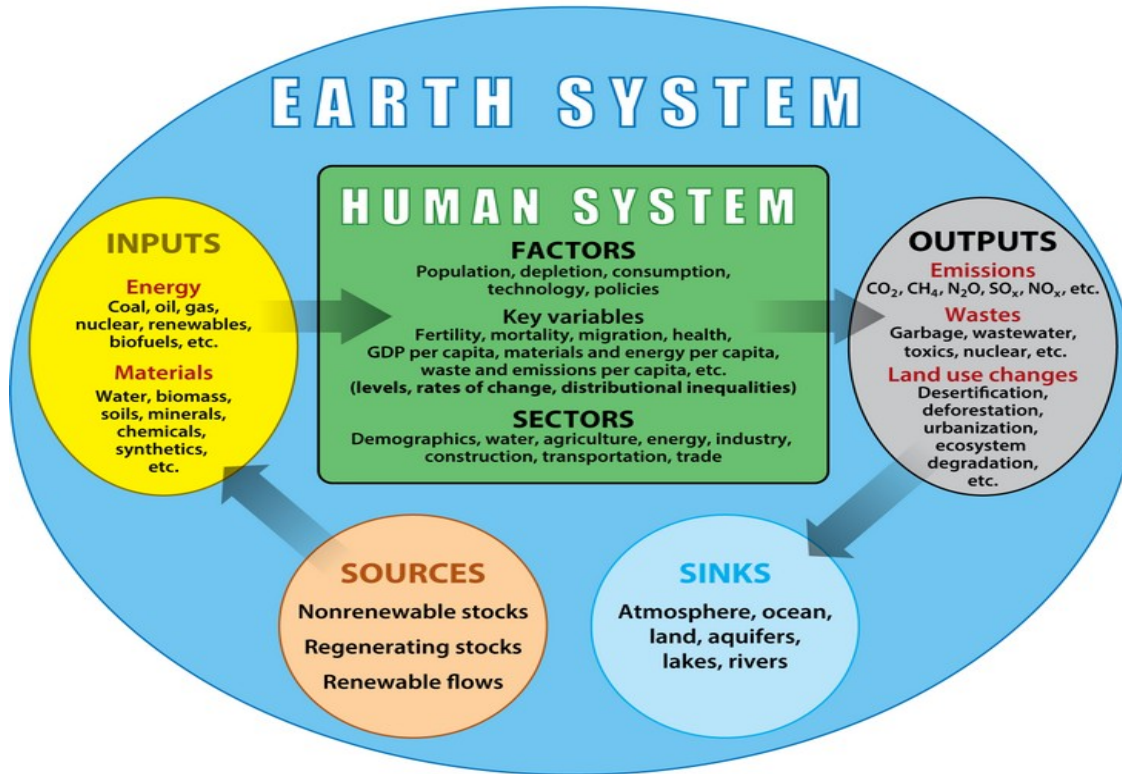
- 1) dowodzimy, że przyszłe warunki środowiskowe będą o wiele bardziej niebezpieczne niż się obecnie uważa, skala zagrożeń ... jest w rzeczywistości tak wielka, że trudno ją ogarnąć nawet dobrze poinformowanym ekspertom;
- 2) pytamy, jaki system polityczny lub ekonomiczny, czy też przywództwo jest przygotowane do stawienia czoła przewidywanym katastrofom, i zdolne do podjęcia odpowiednich działań;
- 3) stwierdzamy, że ta dramatyczna sytuacja nakłada na naukowców niezwykłą odpowiedzialność za szczerze i precyzyjne wypowiadanie się w kontaktach z rządem, biznesem i opinią publiczną.

Zwracamy szczególną uwagę na brak zrozumienia ogromnych wyzwań związanych z zapewnieniem zrównoważonej przyszłości. Narastające obciążenia dla zdrowia, bogactwa i dobrobytu będą przewrotnie zmniejszać naszą polityczną zdolność do łagodzenia erozji usług ekosystemowych, od których zależy społeczeństwo. Wiedza naukowa leżąca u podstaw tych kwestii jest bogata, ale świadomość jej jest słaba. Bez pełnego docenienia i rozpowszechnienia informacji o skali problemów i ogromu wymaganych rozwiązań, społeczeństwo nie zdoła osiągnąć nawet skromnych celów zrównoważonego rozwoju.”

Underestimating the Challenges of Avoiding a Ghastly Future

Corey J. A. Bradshaw^{1,2*}, Paul R. Ehrlich^{3*}, Andrew Beattie⁴, Gerardo Ceballos⁵, Eileen Crist⁶, Joan Diamond⁷, Rodolfo Dirzo⁸, Anne H. Ehrlich^{6,9}, John Harte^{10,11}, Mary Ellen Harte¹², Graham Pyke¹³, Peter H. Raven¹⁰, William J. Ripple¹¹, Frédéric Saltré^{1,2}, Christine Turnbull¹⁴, Mathis Wackernagel¹² and Daniel T. Blumstein^{13,14**}

Human System–Earth System relationship



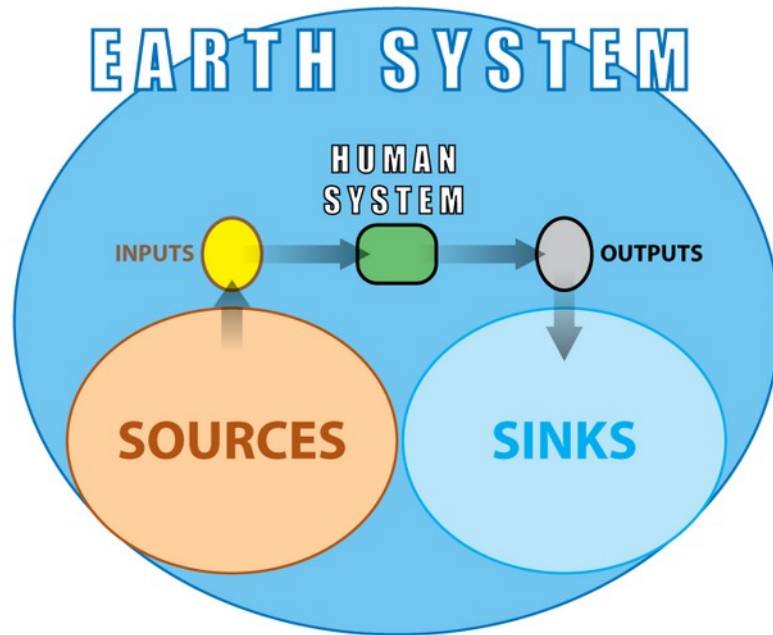
The Human System is within the Earth System: The Earth System provides the sources of the inputs to, and the sinks that absorb the outputs of, the Human System. However, current models are not bidirectionally coupled.
Adapted from Motesharrei et al. (2016), CC-BY, <https://doi.org/10.1093/nsr/nww081>.

Mote S, et al. 2020.
Annu. Rev. Earth Planet. Sci. 48:657–83.

Annual Reviews

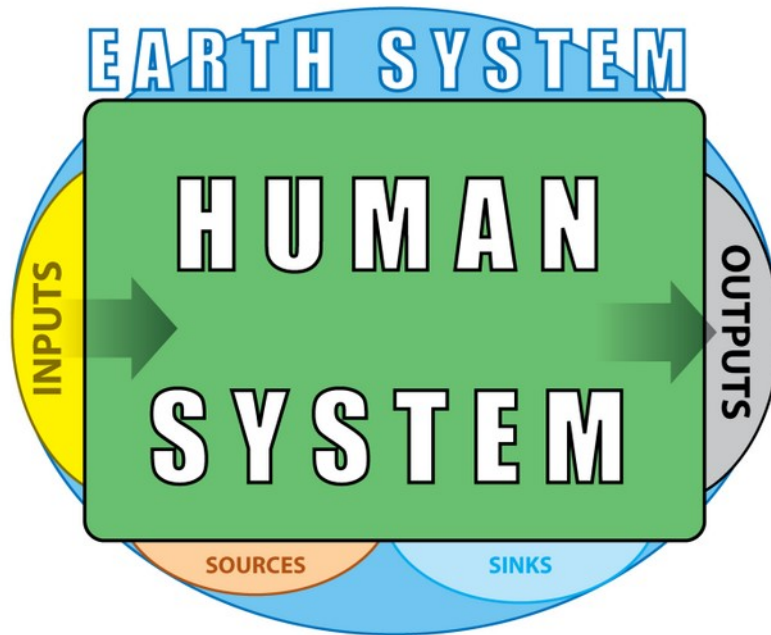
The past: “Empty World” → The present: “Full World”

When the Human System was small relative to the Earth System, the two could be modeled separately.



Capacity of Earth System sources was large relative to Human System inputs. Human System outputs were small relative to absorption capacity of Earth System sinks.

The Human System has grown so large that both must now be modeled coupled to each other.



Now, Human System inputs and outputs are so large relative to the Earth System, they threaten to deplete its sources and overwhelm its sinks.

Adapted from Motesharrei et al. (2016), CC-BY, <https://doi.org/10.1093/nsr/nww081>.



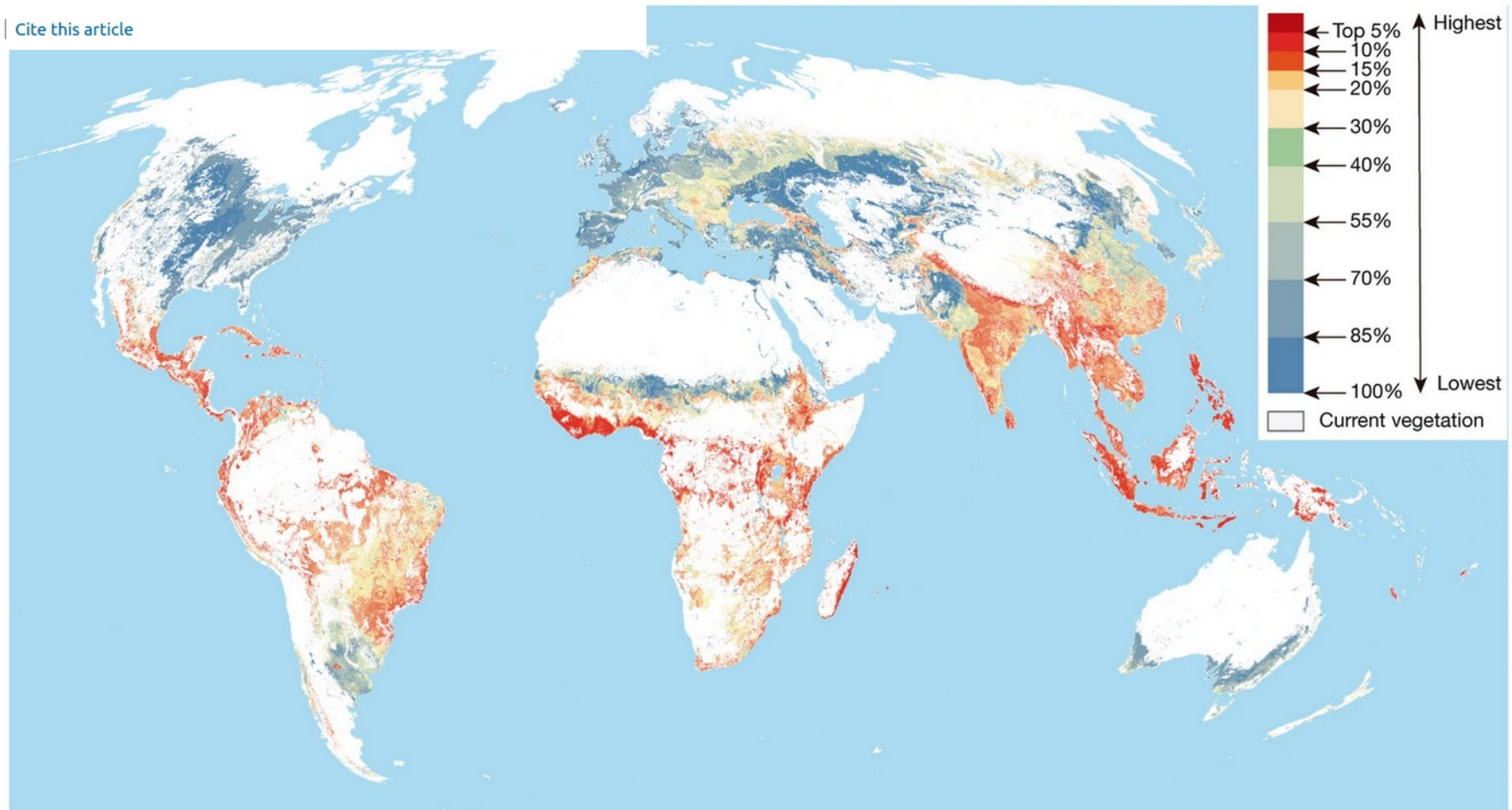
Mote S, et al. 2020.

Annu. Rev. Earth Planet. Sci. 48:657–83

Global priority areas for ecosystem restoration

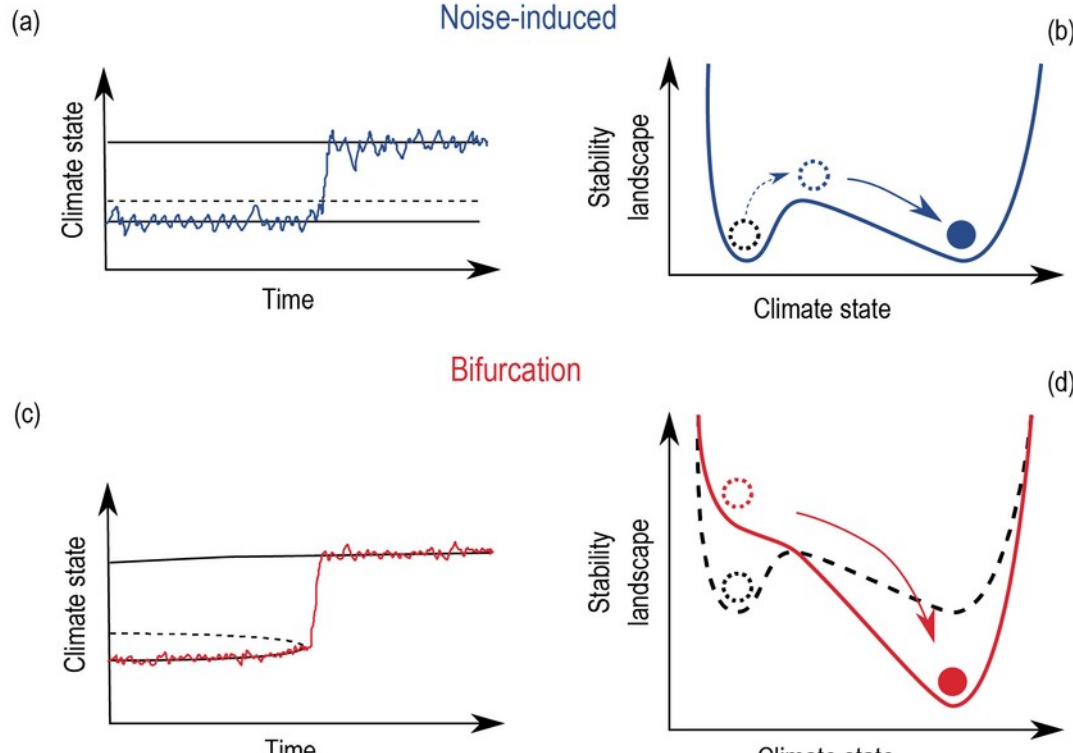
Bernardo B. N. Strassburg , Alvaro Iribarrem, [...] Piero Visconti

Nature (2020) | Cite this article



Priorytety przywracania i zachowania bioróżnorodności

Changes resulting from forcings and feedbacks, if pass tipping points, may lead to new feedbacks and cascade effects.



Lenton, T. M., H. Held, E. Kriegler, J. W. Hall, W. Lucht, S. Rahmstorf, and H. J. Schellnhuber, Tipping elements in the Earth's climate system, Proc. Natl. Acad. Sci. U.S.A. 105, 1786–1793 (2008).

Ghil, M., V. Lucarini, The physics of climate variability and climate change, Rev. Mod. Phys. 92, 035002 (2020).

Punkt krytyczny w ziemskim systemie klimatycznym – wartość lub szybkość zmiany wartości (próg) przekroczenie której może prowadzić do znaczącej zmiany klimatu, która może być nieodwracalna. Występujące w systemie dodatnie sprzężenie zwrotne może prowadzić do przyspieszenia, nieodwracalnych zmian systemu. Potencjalne punkty krytyczne zidentyfikowano zarówno w geofizycznych częściach systemu klimatycznego, jak i w dotkniętych zmianami ekosystemach.

Przykładowo, naturalne cykliczne zmiany orbity Ziemi inicują sprzężenia zwrotne cyklu węglowego, które prowadzą do przejść między epoką lodowcową i międzylodowcową. Geologiczny zapis temperatury Ziemi notuje wiele przykładów szybkich przejść pomiędzy różnymi stanami klimatycznymi.

Punkty krytyczne są szczególnie istotne w odniesieniu do obaw związanych z globalnym ociepleniem. Potencjalne skutki uruchomienia sprzężeń zwrotnych są modelowane a modele weryfikowane na podstawie zachowań ziemskego systemu klimatycznego w przeszłości. Zainicjowane przez działalność ludzką zmiany naturalnego obiegu węgla i ziemskego albedo mogą skutkować lawinowym przekraczaniem kolejnych punktów krytycznych, co doprowadzi planetę do cieplarnianego stanu klimatycznego.

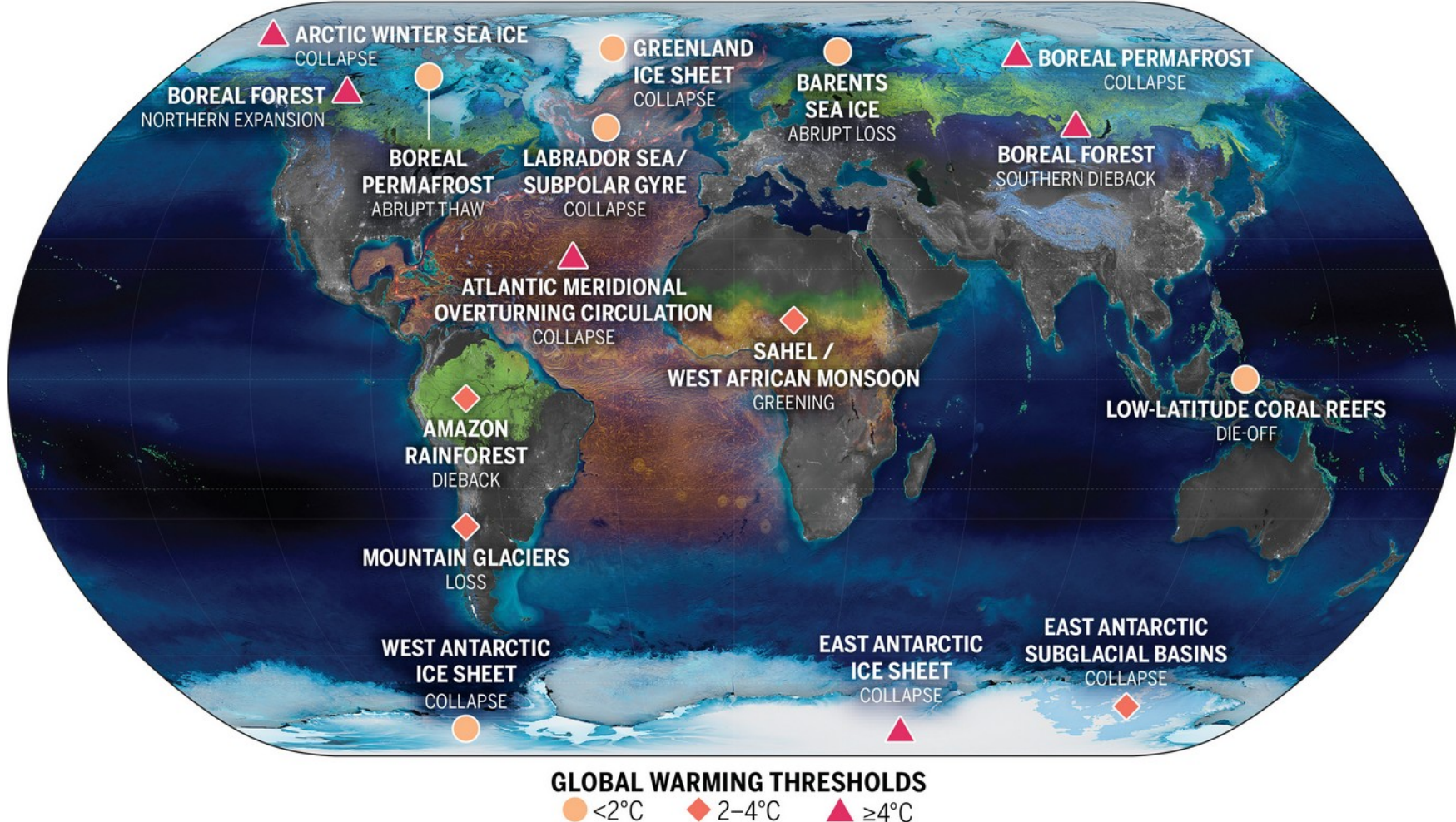
Wielkoskalowe elementy ziemskego systemu, które mogą przekroczyć punkt krytyczny, nazywane są elementami krytycznymi. Przykładami takich elementów są pokrywy lodowe Grenlandii i Antarktydy, których kurczenie się może spowodować podniesienie poziomu morza o dziesiątki metrów.

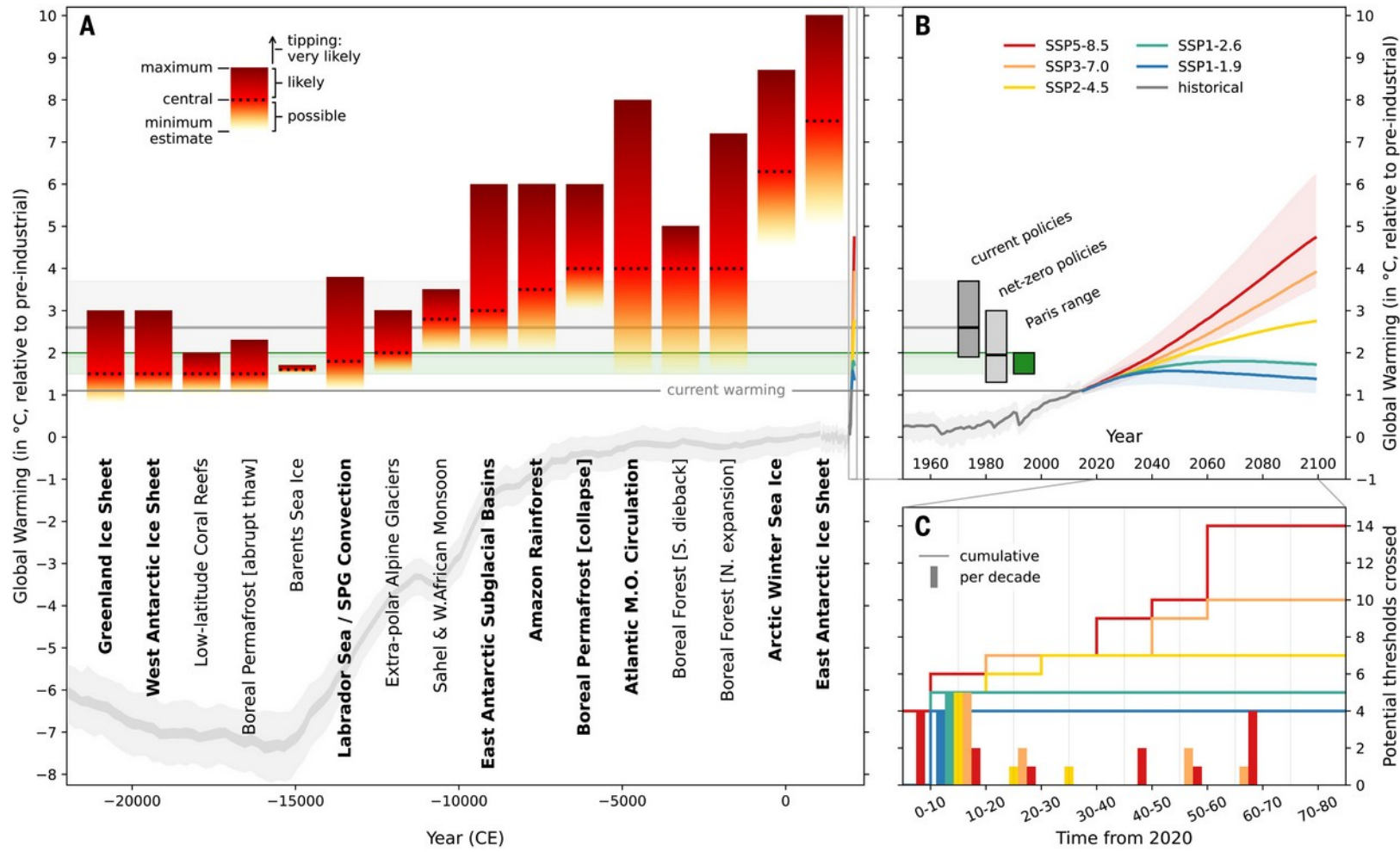
Skutki przekroczenia punktu krytycznego nie muszą być natychmiastowe, pojemność cieplna wprowadza bezwładność do układu. Przykładowo, przy wzroście temperatury nieuniknione będzie stopienie części pokrywy lodowej Grenlandii i Antarktydy Zachodniej. Sama pokrywa lodowa może jednak utrzymywać się jeszcze przez wiele stuleci.

Exceeding 1.5°C global warming could trigger multiple climate tipping points

DAVID J. ARMSTRONG MCKAY  ARIE STAAL  JESSIE F. ABRAMS  RICARDO WINKELMANN  BORIS SAKSCHEWSKI  SINI LORIANI  INGO FETZER 
SARAH E. CORNELL  JOHAN ROCKSTRÖM AND TIMOTHY M. LENTON  fewer Authors Info & Affiliations

SCIENCE • 9 Sep 2022 • Vol 377, Issue 6611 • DOI:10.1126/science.abn7950

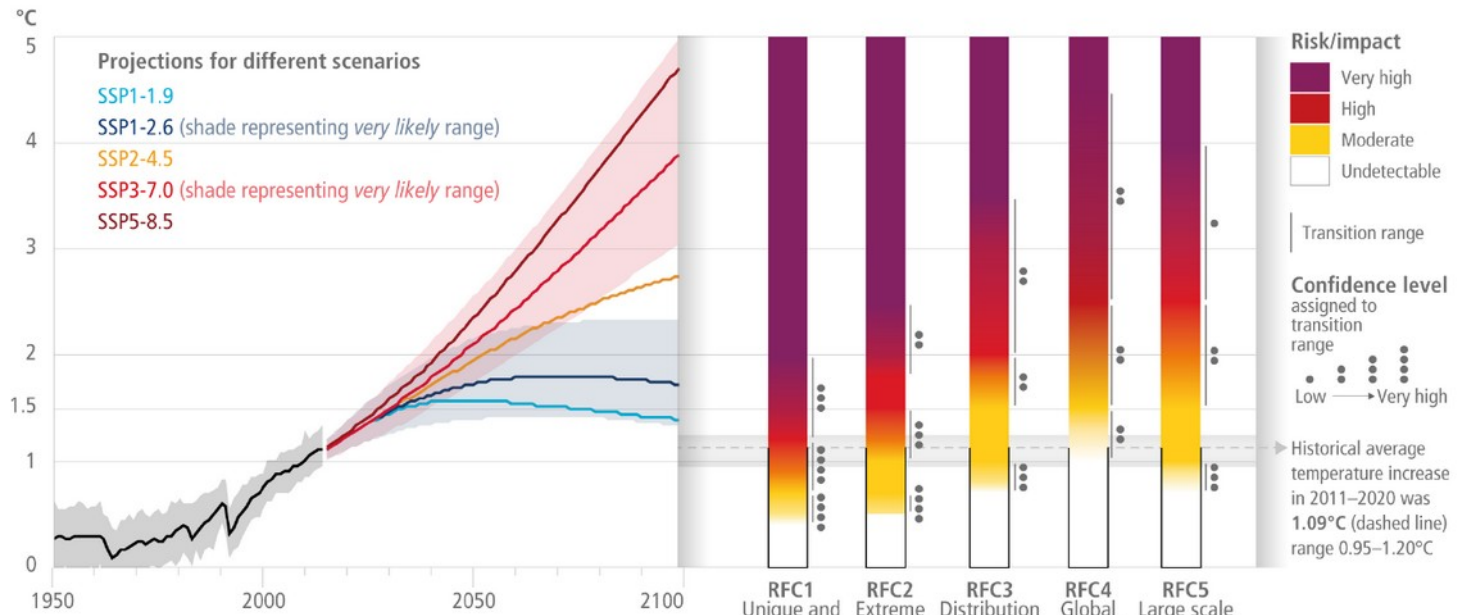




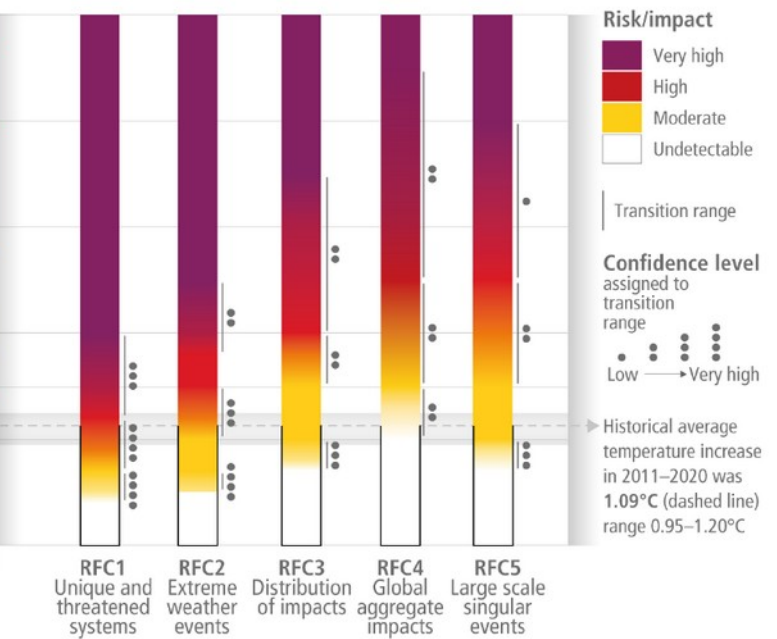
Progi przekroczenia punktów krytycznych systemu klimatycznego o znaczeniu globalnym i regionalnym. Zakresy prawdopodobieństwa przekroczenia (A) w kontekście projekcji IPCC dla scenariuszy rozwoju oraz obecnych polityk i celów (B) oraz liczba progów, które mogą zostać przekroczone (C).

Global and regional risks for increasing levels of global warming

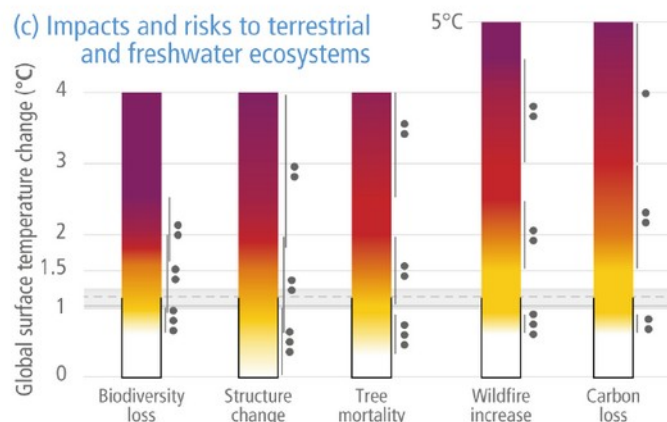
(a) Global surface temperature change
Increase relative to the period 1850–1900



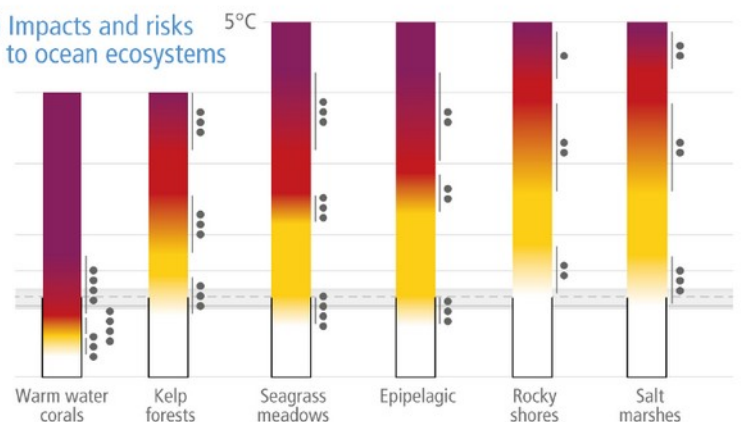
(b) Reasons for Concern (RFC)
Impact and risk assessments assuming low to no adaptation



(c) Impacts and risks to terrestrial and freshwater ecosystems

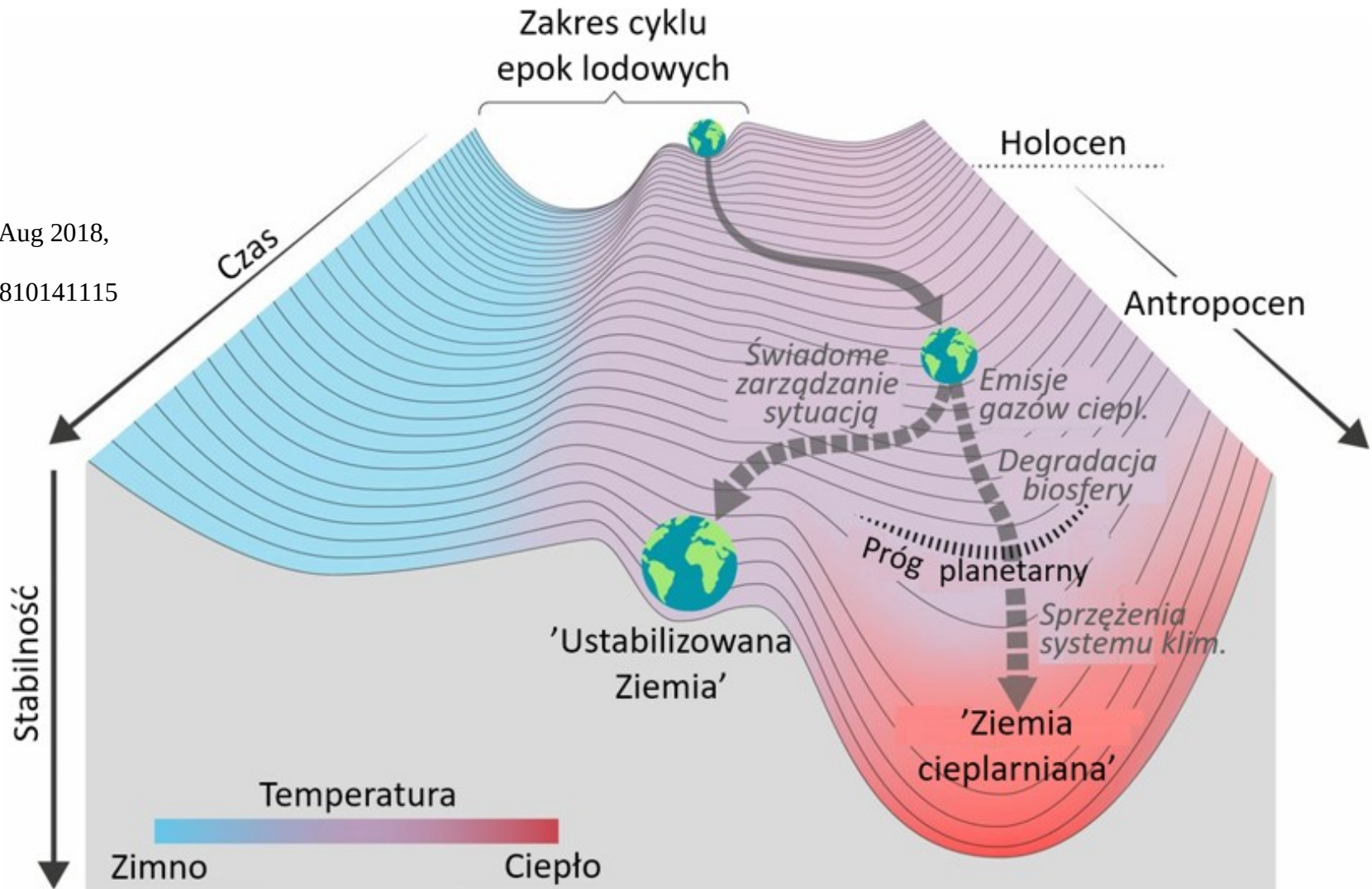


(d) Impacts and risks to ocean ecosystems



Scenariusze na przyszłość

Steffen et al., PNAS Aug 2018,
115 (33) 8252-8259;
DOI: 10.1073/pnas.1810141115

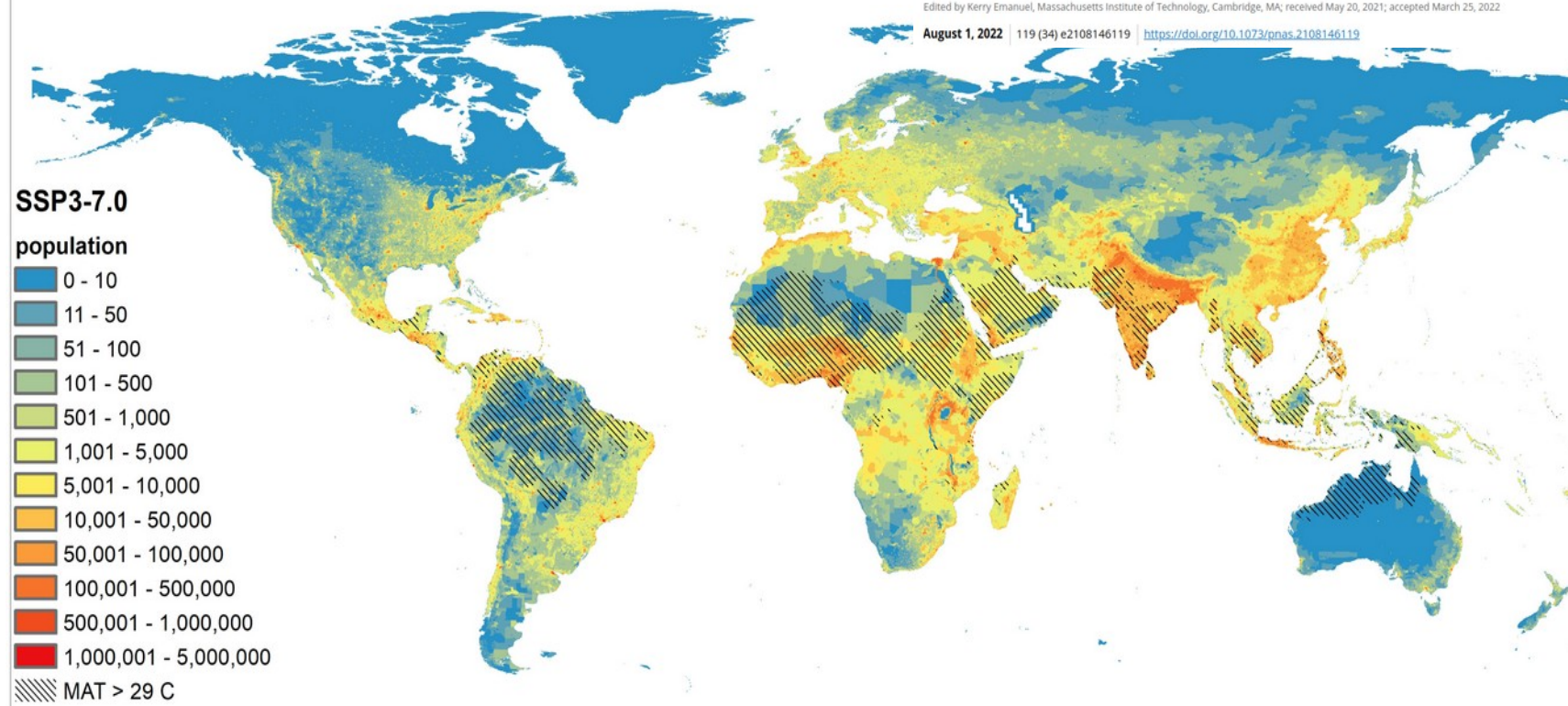


Climate Endgame: Exploring catastrophic climate change scenarios

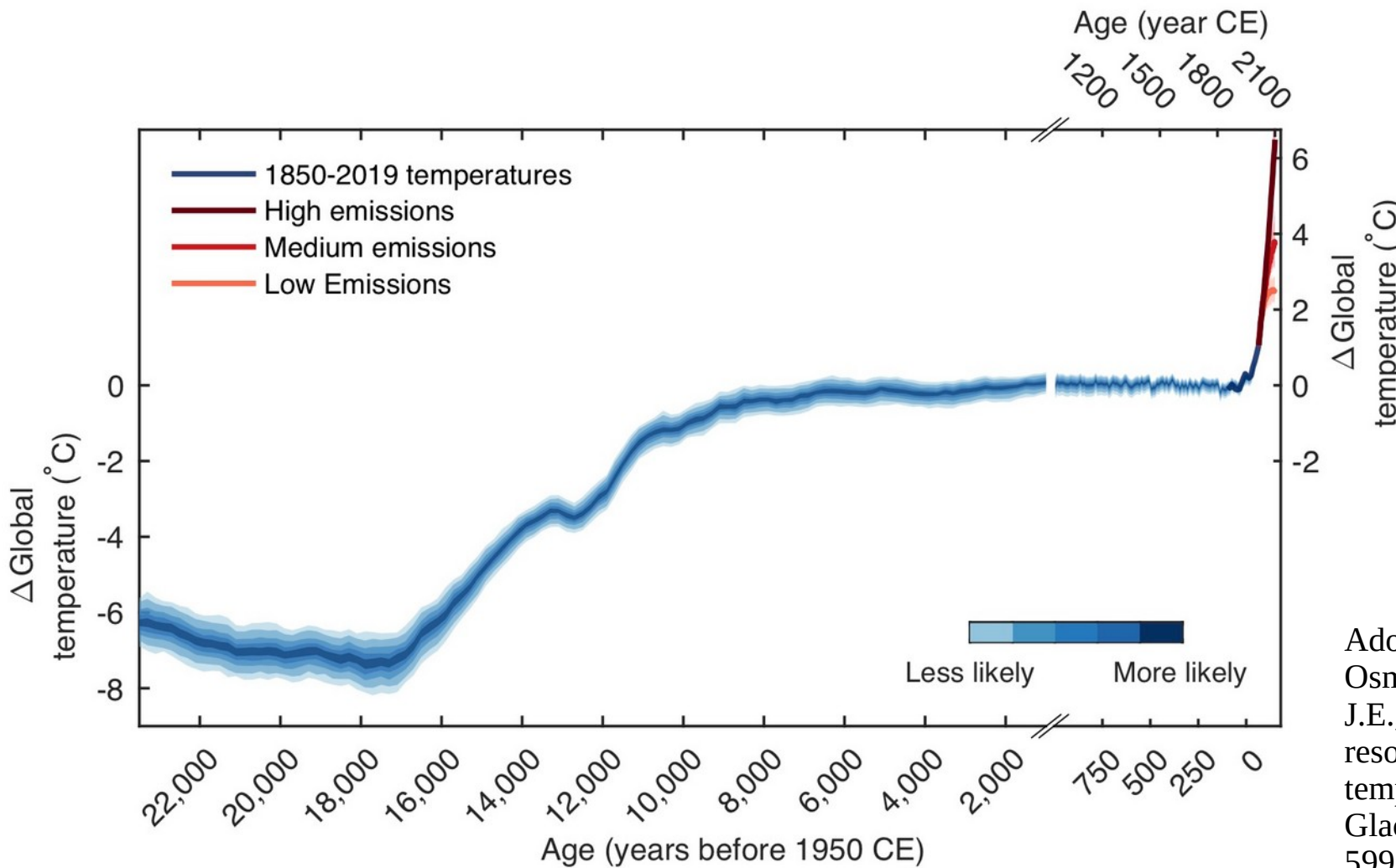
Luke Kemp , Chi Xu , Joanna Depledge, , and Timothy M. Lenton  [Authors Info & Affiliations](#)

Edited by Kerry Emanuel, Massachusetts Institute of Technology, Cambridge, MA; received May 20, 2021; accepted March 25, 2022

August 1, 2022 | 119 (34) e2108146119 | <https://doi.org/10.1073/pnas.2108146119>



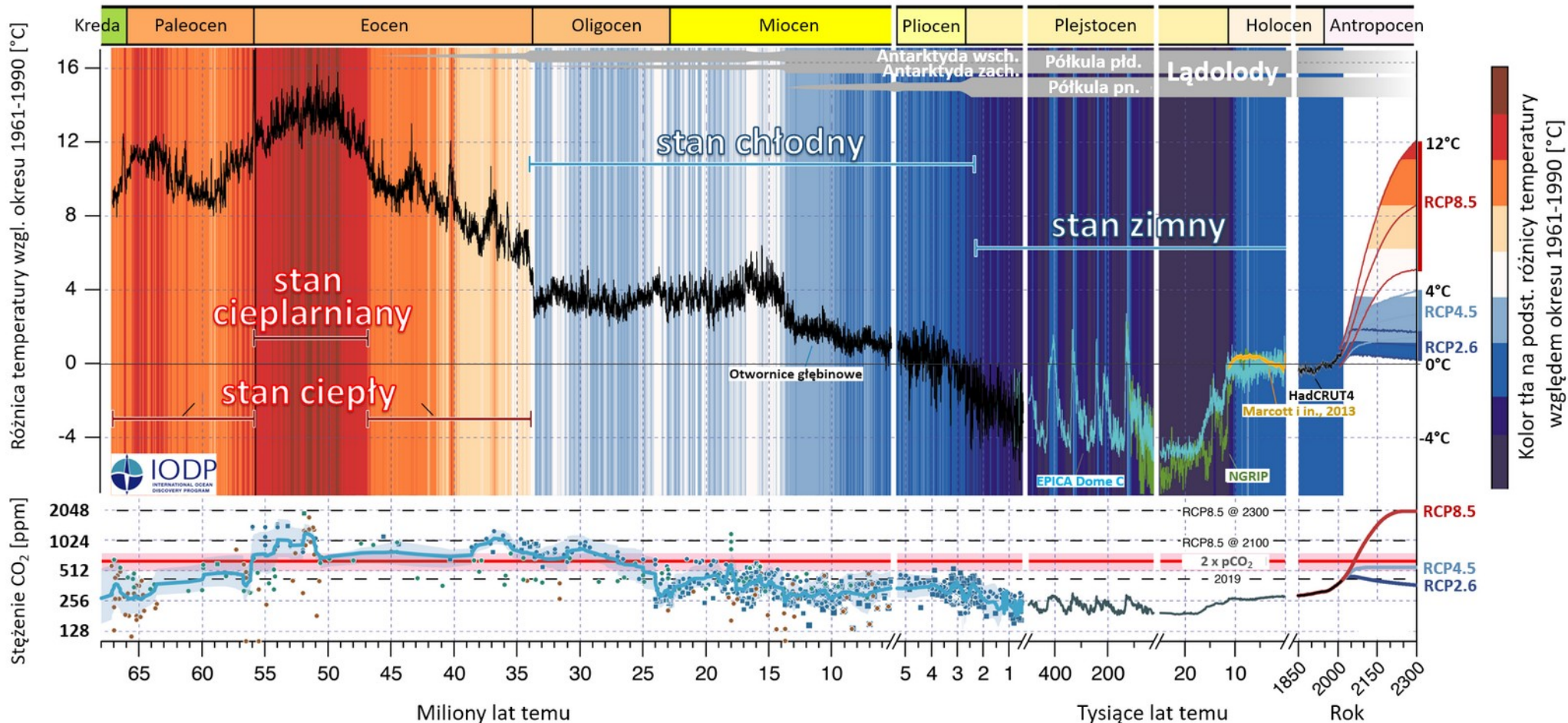
Overlap between future population distribution and extreme heat. CMIP6 model data [from nine GCM models available from the WorldClim database] were used to calculate MAT under SSP3-7.0 during around 2070 (2060–2080) alongside Shared SSP3 demographic projections to ~2070. The shaded areas depict regions where MAT exceeds 29 °C, while the colored topography details the spread of population density.

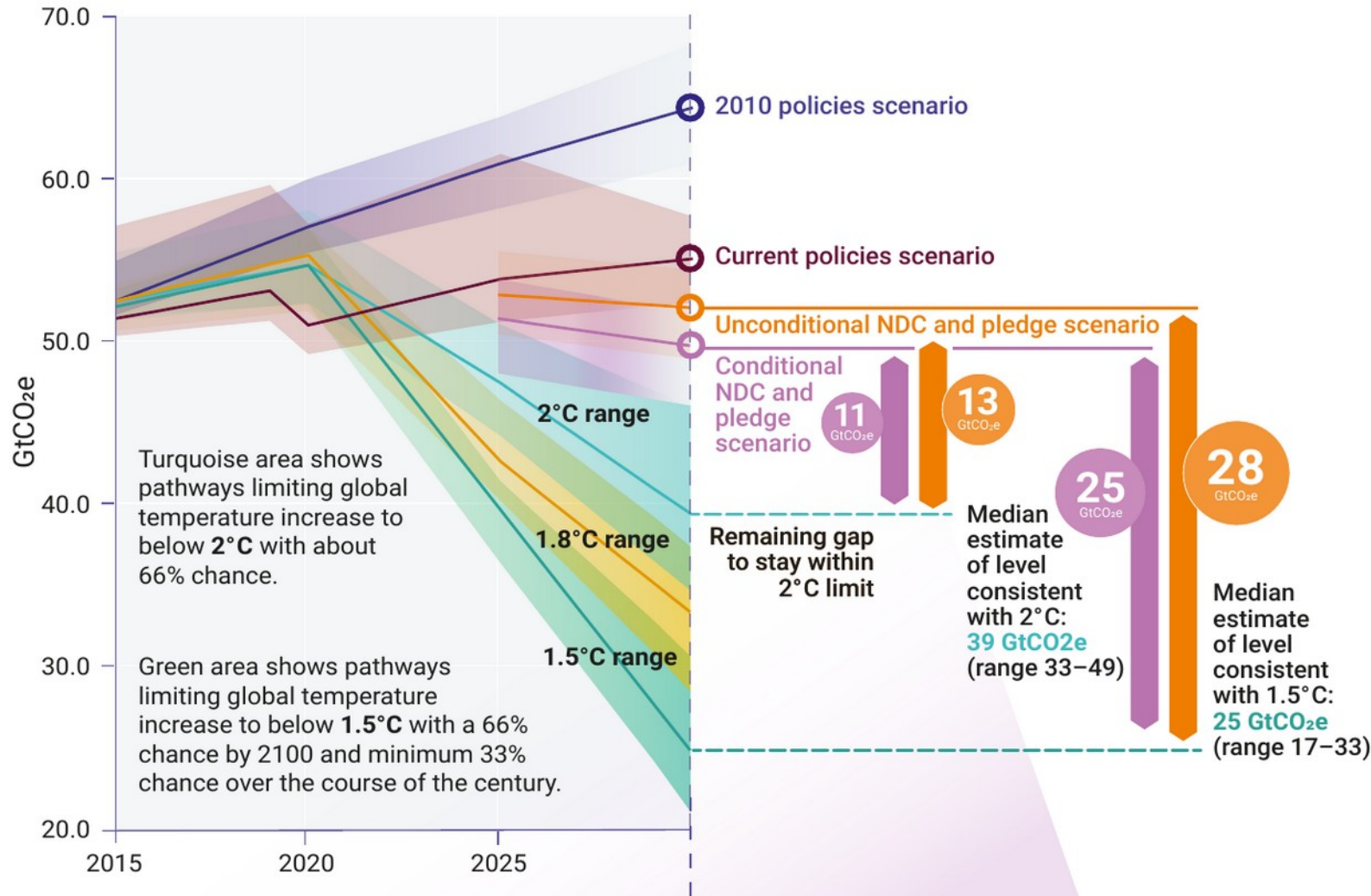


Adopted after:
Osman, M.B., Tierney, J.E., Zhu, J. et al. Globally resolved surface temperatures since the Last Glacial Maximum. *Nature* 599, 239–244 (2021).
<https://doi.org/10.1038/s41586-021-03984-4>

Porównanie zmian średniej temperatury globu i koncentracji CO₂ w atmosferze od czasów dinozaurów (65 milionów lat temu) do teraz z możliwym antropogenicznym globalnym ociepleniem (450 lat).

https://websites.pmc.ucsc.edu/~jzachos/images/CENOGRID_Cartoon_withProjection_alternate.png

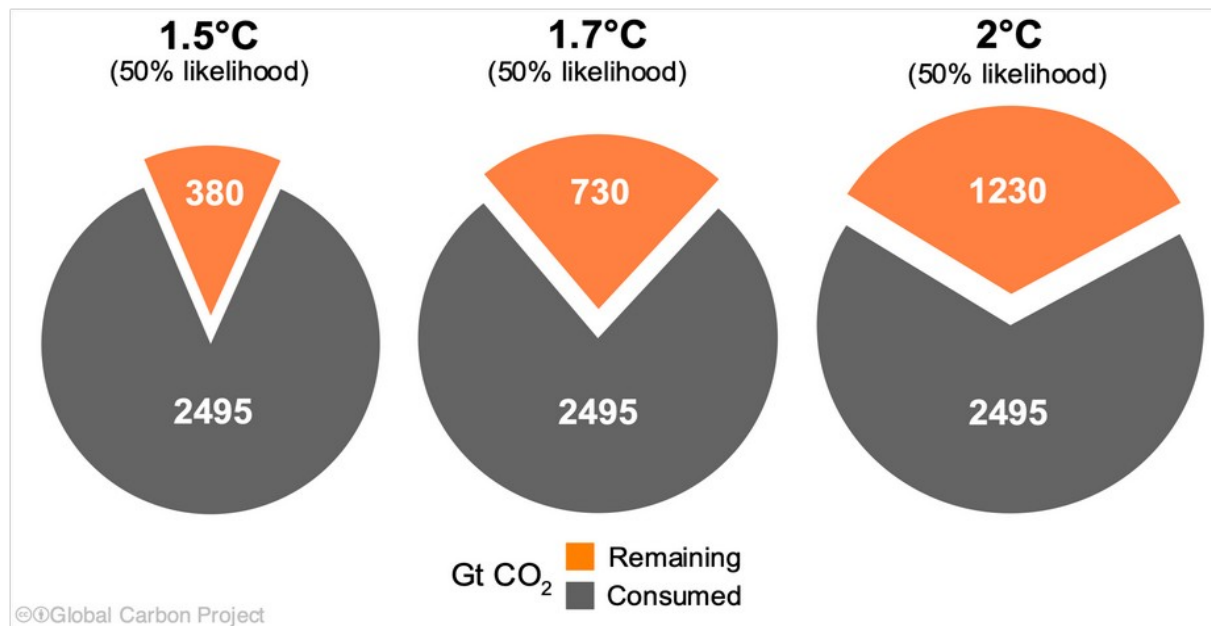




Remaining carbon budget

The remaining carbon budget to limit global warming to 1.5°C , 1.7°C and 2°C is 380 GtCO₂, 730 GtCO₂, and 1230 GtCO₂ respectively, equivalent to 9, 18 and 30 years from 2023.

2610 GtCO₂ have been emitted since 1750

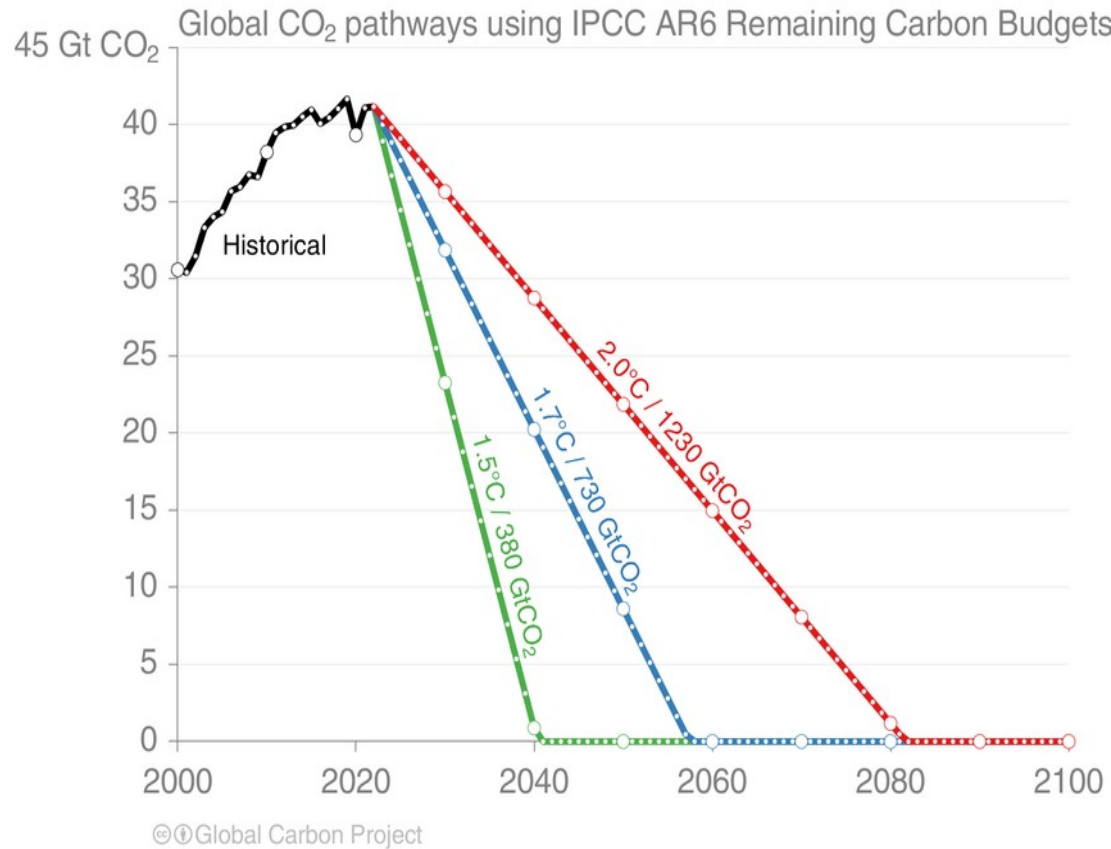


The remaining carbon budgets are updated from IPCC AR6 WG1 Chapter 5 by removing additional historical emissions since 1 January 2020.

Quantities are subject to additional uncertainties e.g., future mitigation choices of non-CO₂ emissions
Source: IPCC AR6 WG1; [Friedlingstein et al 2022](#); [Global Carbon Budget 2022](#)

Remaining carbon budget

Global CO₂ emissions must reach zero to limit global warming



Source: [Friedlingstein et al 2022](#); [Global Carbon Project 2022](#)

WNIOSKI:

Aktualne sprzężenia między systemem ludzkim (kulturą i gospodarką) a systemem ziemskim (naturą) nie są wystarczające dla utrzymania kryzysu klimatycznego i kryzysu bioróżnorodności pod kontrolą.

Utrzymanie systemu ludzkiego w aktualnej postaci w dłuższym czasie jest niemożliwe, można wyróżnić dwa skrajne scenariusze na przyszłość:

- 1) pożądany – kontrolowana ale szybka zmiana systemu ludzkiego prowadząca do uwzględnienia wzajemnych zależności z systemem natury;
- 2) katastrofalny – dekompozycja systemu ludzkiego wskutek nieuwzględnienia uwarunkowań jakie wynikają z praw natury i ograniczeń planetarnych.

Independent report

Final Report - The Economics of Biodiversity: The Dasgupta Review

Final Report of the Independent Review on the Economics of Biodiversity led by Professor Sir Partha Dasgupta.

From: [HM Treasury](#)
Published: 2 February 2021
Last updated: 18 February 2021, see all updates

Documents



[The Economics of Biodiversity: The Dasgupta Review – Full Report](#)

PDF, 26.8MB, 610 pages



[The Economics of Biodiversity: The Dasgupta Review – Abridged Version](#)

PDF, 8.43MB, 103 pages



[The Economics of Biodiversity: The Dasgupta Review – Headline Messages](#)

PDF, 1.84MB, 10 pages

Related content

Collection

[The Economics of Biodiversity: The Dasgupta Review](#)

Brexit

Check Change Go

[Check what you need to do](#)

Our economies, livelihoods and well-being all depend on our most precious asset: Nature.

We have collectively failed to engage with Nature sustainably, to the extent that our demands far exceed its capacity to supply us with the goods and services we all rely on.

Our unsustainable engagement with Nature is endangering the prosperity of current and future generations.

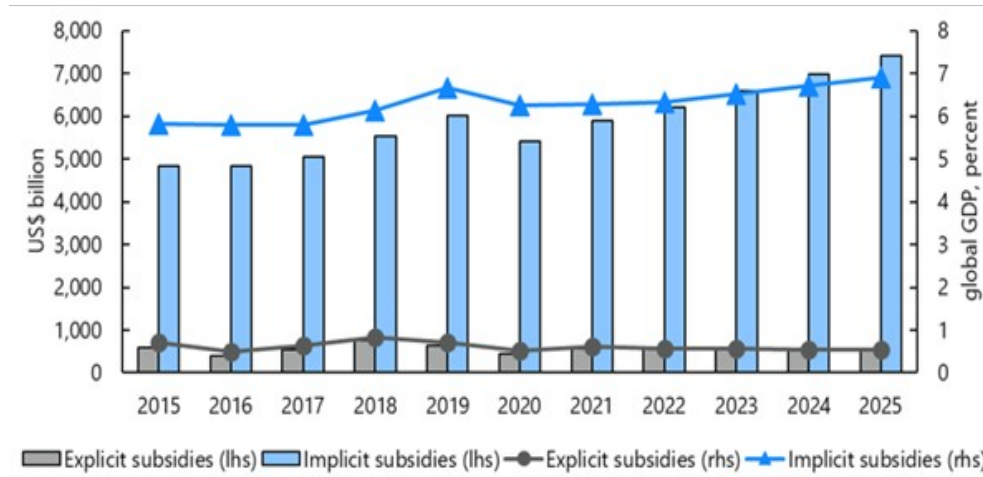
At the heart of the problem lies deep-rooted, widespread institutional failure.

The solution starts with understanding and accepting a simple truth: our economies are embedded within Nature, not external to it.

We need to change how we think, act and measure success.

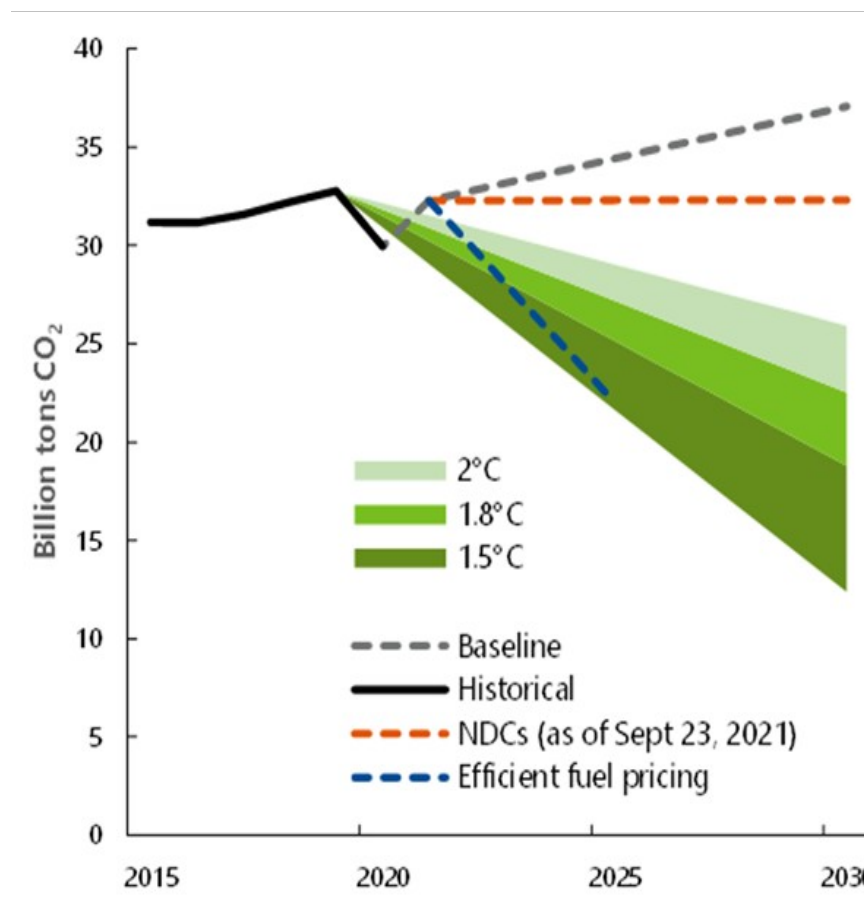
W skali globalnej subsydia do paliw kopalnych wyniosły 5,9 biliona dolarów, czyli 6,8 procent PKB w 2020 roku i oczekuje się, że w 2025 roku wzrosną do 7,4 procent PKB.

Zaledwie 8 procent dopłat w 2020 roku odzwierciedla zaniżone obciążenia z tytułu kosztów dostaw (dopłaty jawne), a 92 procent - zaniżone obciążenia z tytułu kosztów środowiskowych i utraconych podatków konsumpcyjnych (dopłaty ukryte).



Podniesienie cen paliw do ich w pełni efektywnych poziomów zmniejsza prognozowane globalne emisje CO₂ z paliw kopalnych o 36 procent poniżej poziomów bazowych w 2025 r. - lub o 32 procent poniżej emisji z 2018 r.

Redukcja ta jest zgodna z 25-50-procentową redukcją globalnych gazów cieplarnianych poniżej poziomów z 2018 r., potrzebną do 2030 r., aby być na dobrej drodze do ograniczenia globalnego ocieplenia do celu paryskiego 1,5-2C. W skali globalnej około 74 proc. redukcji emisji CO₂ pochodzi ze zmniejszonego zużycia węgla, podczas gdy odpowiednio 21 i 3 proc. pochodzi ze zmniejszenia zużycia ropy naftowej i gazu ziemnego.



<https://www.imf.org/en/Topics/climate-change/energy-subsidies>

There is a rapidly narrowing window of opportunity to enable climate resilient development

Multiple interacting choices and actions can shift development pathways towards sustainability

